



Aix*Marseille
université



Bibliothèque
de l'Alcazar
7 mars 2013
17h30

La quête du boson de Higgs

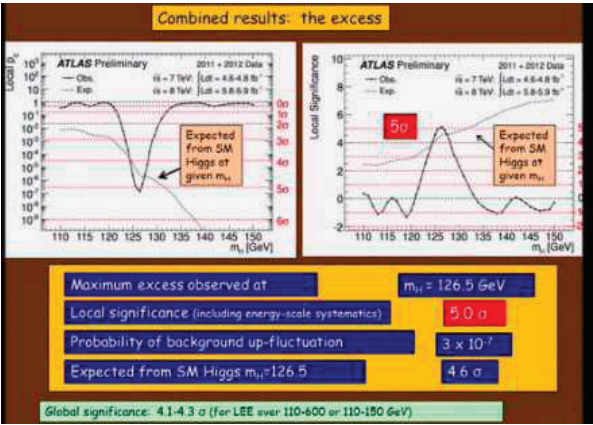
L'accélérateur de particules LHC et l'expérience ATLAS pour percer les secrets de l'Univers

Laurent VACAVANT

Centre de Physique des Particules de Marseille



Retour sur le 4 juillet 2012



Le Monde.fr
Mise à jour à 10:02 - Paris

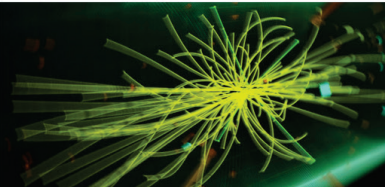
INTERNATIONAL POLITIQUE SOCIÉTÉ ÉCONOMIE CULTURE IDÉES SPORT SCIENCES TECHNO

EN CIUDADES EUROPEAS desde 15€ (por noche por persona)

EN CIUDADES ESPAÑOLAS desde 17€ (por noche por persona)

Nicolas Sarkozy Mali Boson de Higgs 1962: l'indépendance algérienne Microsoft Tour de France

Le boson de Higgs découvert avec 99,999 % de certitude



Voici la confirmation tant attendue : une nouvelle particule a été découverte au Centre européen de recherche nucléaire (CERN), près de Genève.

The New York Times

Wednesday, July 4, 2012 Last Update 4:00 AM ET

DIGITAL SUBSCRIPTION: 4 WEEKS FOR 99¢



New Particle Could Be Physics' Holy Grail

By DENNIS OVERBYE 4 minutes ago

If confirmed to be the elusive Higgs boson, a newly discovered particle named for the physicist Peter Higgs, above, in Geneva, could explain the universe's origin.



EL PAÍS

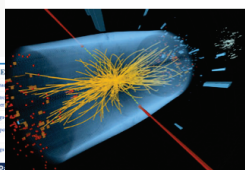
ESTÁ PASANDO

INTERNACIONAL POLÍTICA ECONOMÍA CULTURA SOCIEDAD

Los científicos del CERN anuncian el descubrimiento de una partícula que podría ser Higgs. Sigue la videoconferencia explicando un avance que, de conformidad, supondrá un paso esencial de la física para explicar el origen de la materia.

llada "la más sólida evidencia" de existencia del bosón de Higgs

El descubrimiento de la partícula es un paso esencial hacia la explicación del origen de la materia



"Puedo confirmar que se ha descubierto una partícula que es consistente con la teoría del bosón de Higgs", dicen los científicos. El descubrimiento de la partícula ayudaría a explicar el origen de la masa. Los físicos del CERN explican en estos momentos sus hallazgos

- ▷ Diccionario para entender en qué consiste el hallazgo
- ▷ La "caza" del bosón de Higgs, por A. RUIZ JIMENO
- ▷ VÍDEO Una explicación del bosón de Higgs
- ▷ Sigue en directo la conferencia del CERN
- ▷ FOTOGALERÍA Indicios hallados de la "partícula de Dios"
- ▷ "Hacia la partícula de Dios", por JAVIER SAMPERIO



Le Cern a réussi à mettre en évidence le boson de Higgs qui résout une énigme fondamentale

A nos lecteurs



Le boson de Higgs: quezako ?

© Lison Bernet



BD ici: <http://www.lhc-france.fr>

boson: un type de particule élémentaire, clé de voûte de la théorie en physique des particules
Peter Higgs: un de ses inventeurs (il y a 48 ans...)

La quête du boson de Higgs

Cette présentation:

L'invention d'une particule:

- L'infiniment petit
- Les particules élémentaires
- Les forces
- La masse
- Le mécanisme de Higgs

La découverte d'une particule:

- Accélérateurs et le LHC
- Le détecteur ATLAS
- Recherche du boson de Higgs

NOBODY UNDERSTANDS ME!



« Personne ne me comprend ! »

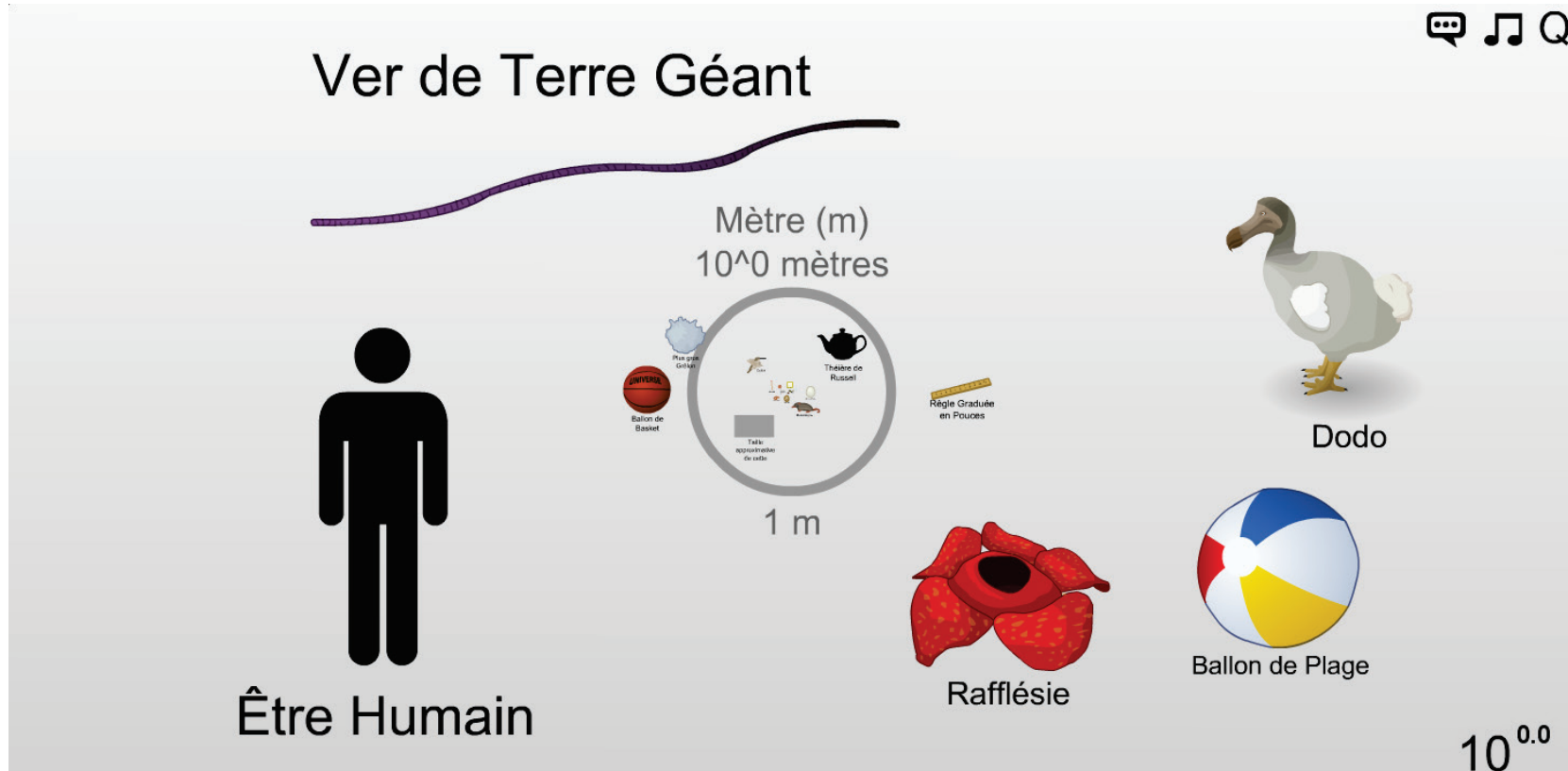
➔ notion assez difficile à vulgariser

La physique des particules élémentaires

- **Physique des particules**: étude des constituants ultimes de la matière. Nom moderne d'un effort entrepris depuis des siècles et visant à comprendre les lois de la nature
→ recherche fondamentale
- **Objectif**: décrire les propriétés du tout à partir de ses parties
 - Les particules de matière (les « briques » formant toute la matière)
 - Les interactions de ces briques: lois de la physique (forces)
- **Démarche**: réduire le nombre d'éléments, recherche des similitudes/symétries, unification de phénomènes apparemment différents
- Le tout dans un cadre mathématique extrêmement rigoureux et prédictif

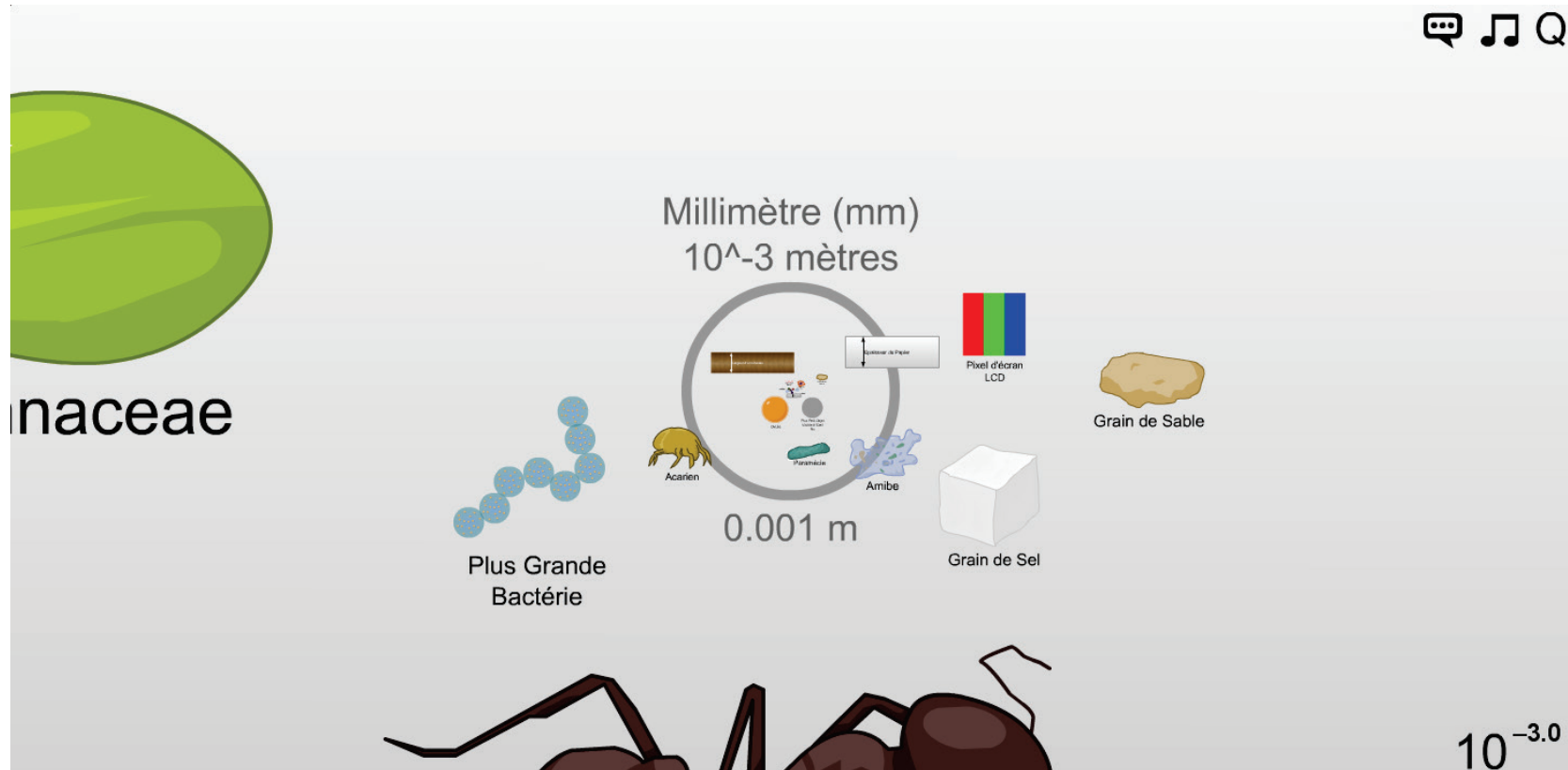
Voyage vers l'infiniment petit

1 m



Voyage vers l'infiniment petit

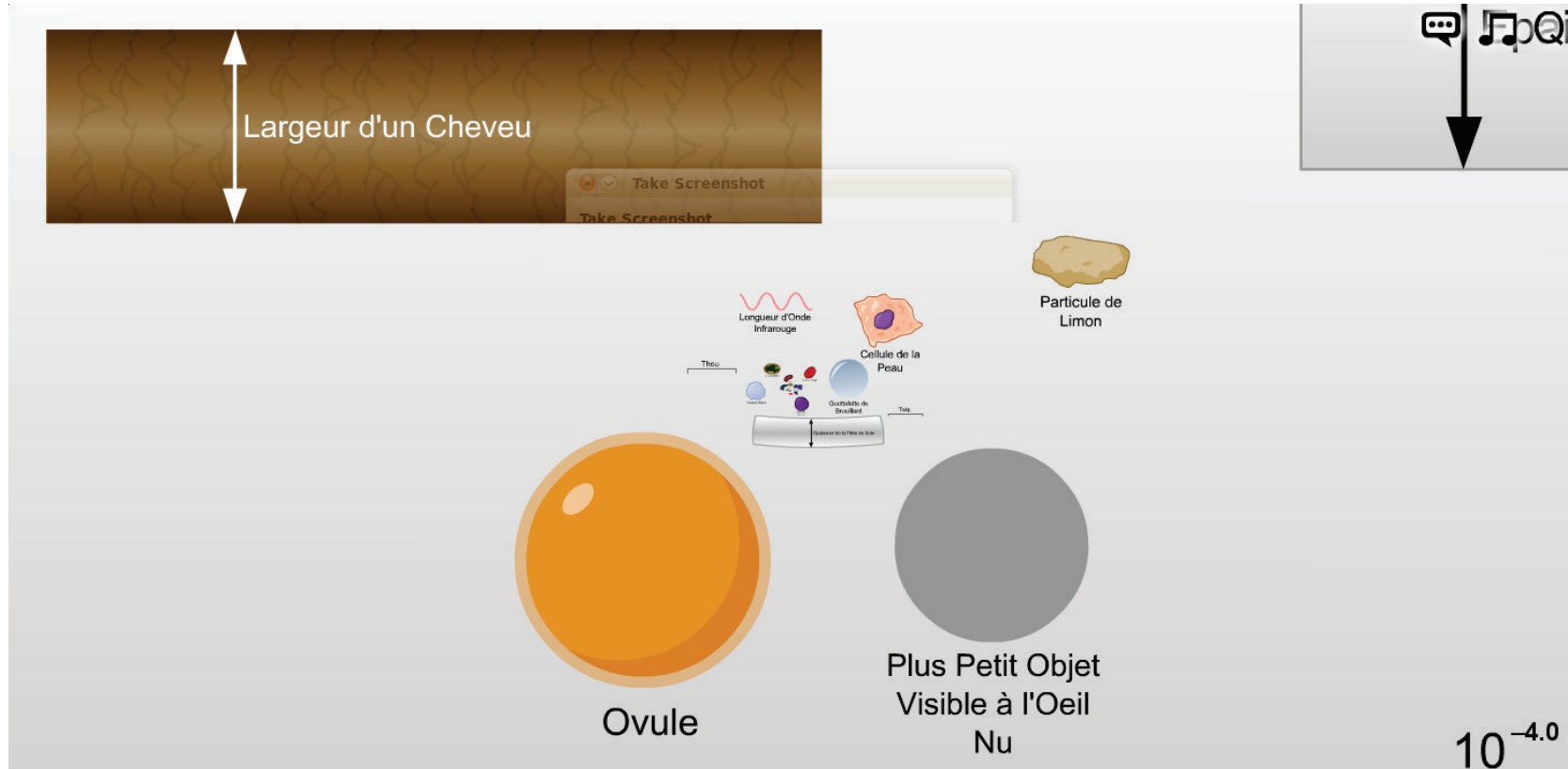
$$1 \text{ mm} = 10^{-3} \text{ m} = 0.001 \text{ m}$$



© 2012 Cary and Michael Huang (<http://htwins.net>)

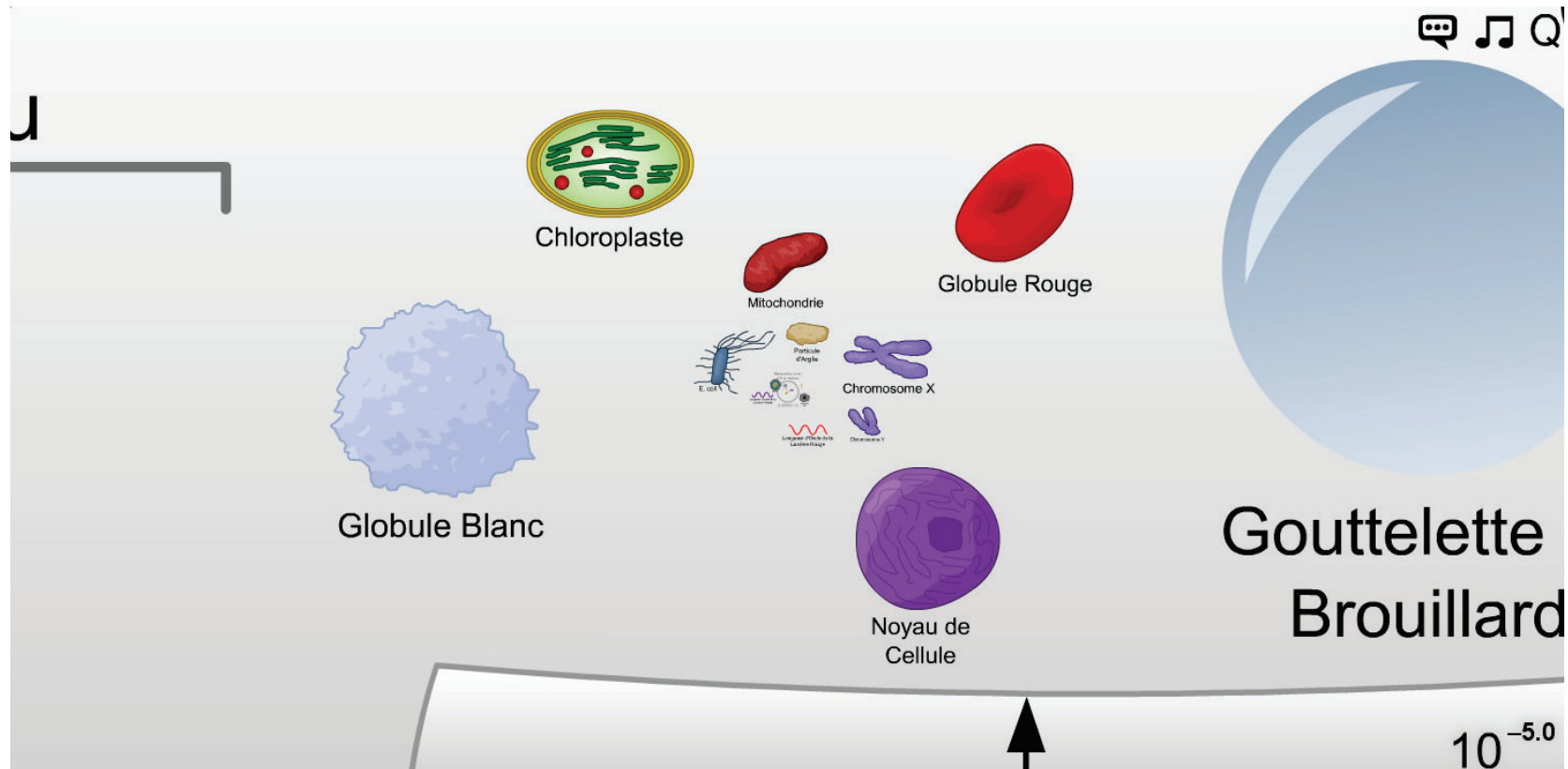
Voyage vers l'infiniment petit

$$1/10 \text{ mm} = 10^{-4} \text{ m} = 0.0001 \text{ m}$$



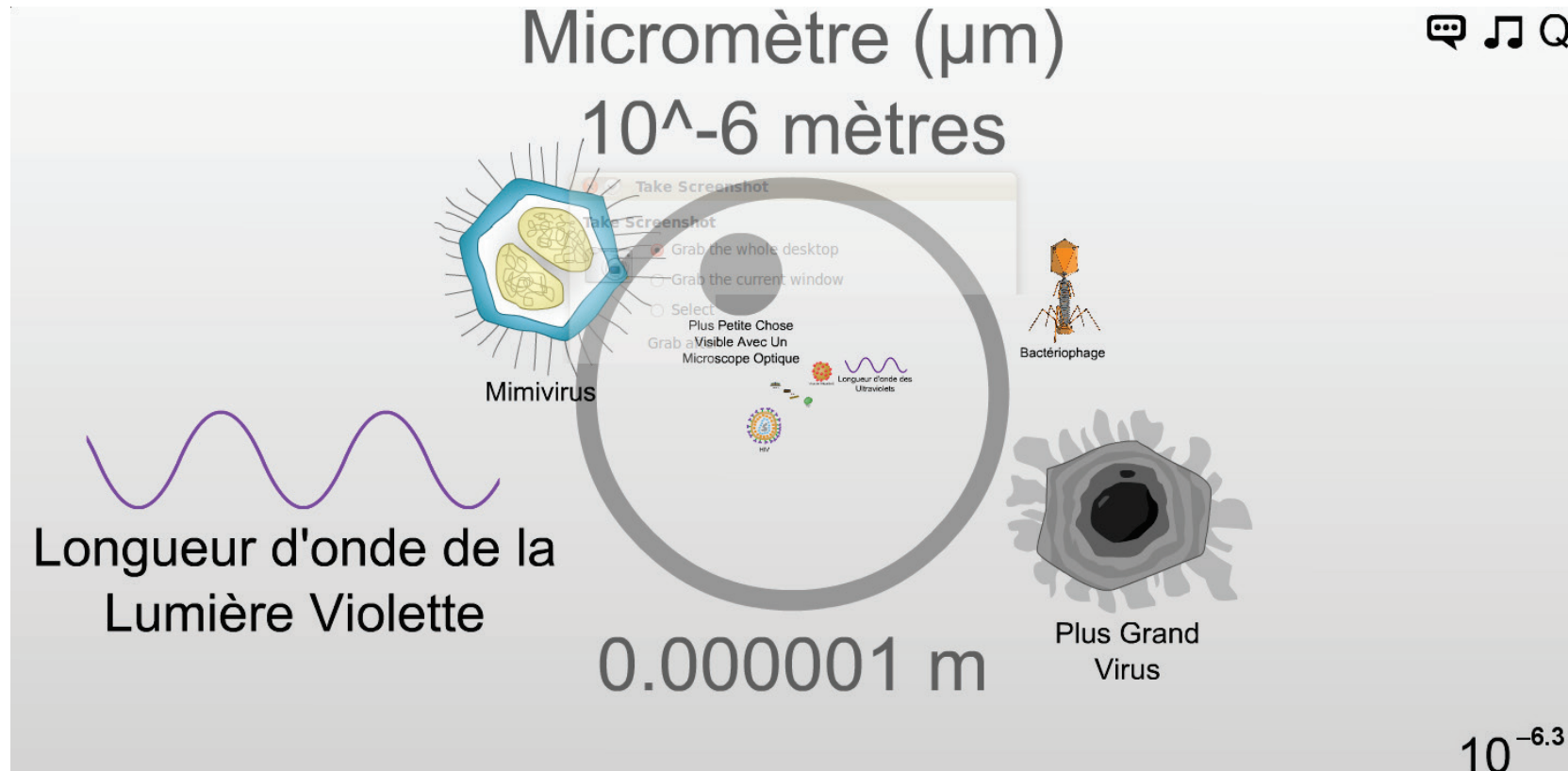
Voyage vers l'infiniment petit

$$1/100 \text{ mm} = 10^{-5} \text{ m} = 0.0001 \text{ m}$$



Voyage vers l'infiniment petit

$$1 \text{ } \mu\text{m} = 10^{-6} \text{ m} = 0.000001 \text{ m}$$



Voyage vers l'infiniment petit

$$1/10 \text{ } \mu\text{m} = 10^{-7} \text{ m} = 0.0000001 \text{ m}$$

Plus Petite Chose
Visible Avec Un
Microscope Optique

Transistor

Virus de l'Hépatite B

Tobacco Mosaic Virus

Paramecium

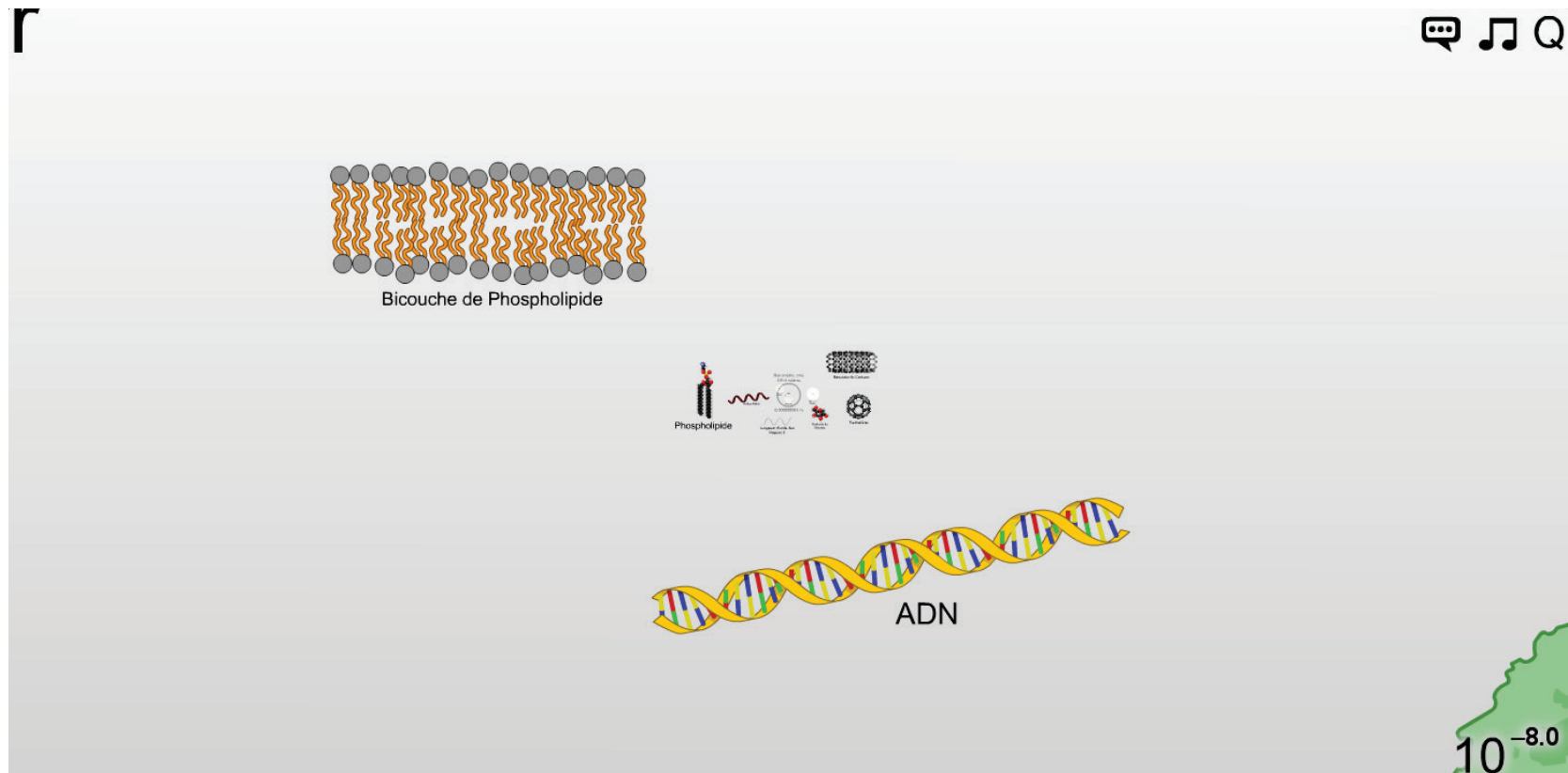
HIV

Longueur d'onde des Ultraviolets

$10^{-7.0}$

Voyage vers l'infiniment petit

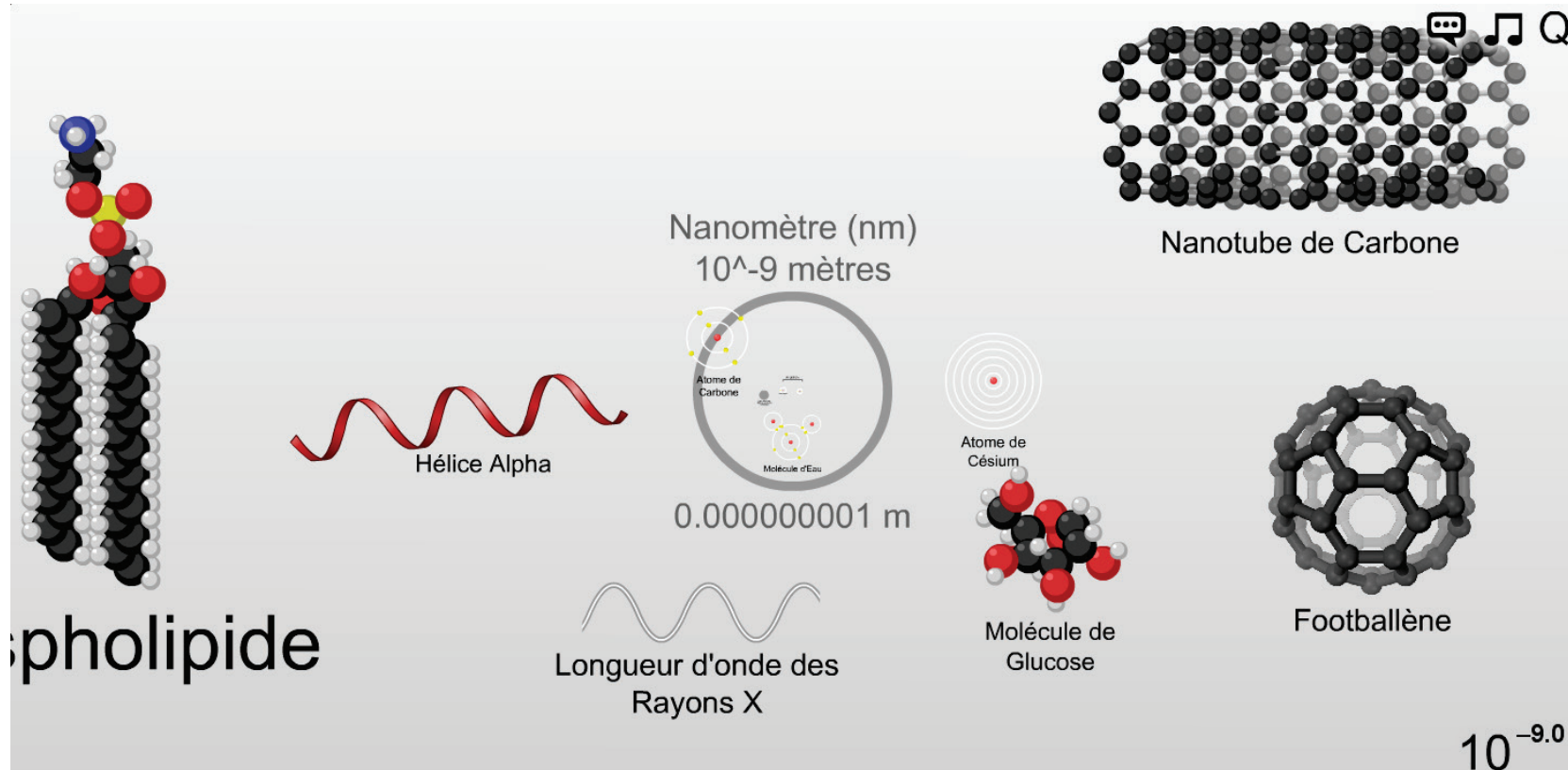
$$1/100 \mu\text{m} = 10^{-8} \text{ m} = 0.00000001 \text{ m}$$



© 2012 Cary and Michael Huang (<http://htwins.net>)

Voyage vers l'infiniment petit

$$1 \text{ nm} = 10^{-9} \text{ m} = 0.000000001 \text{ m}$$



Voyage vers l'infiniment petit

$$1 \text{ \AA} = 10^{-10} \text{ m} = 0.0000000001 \text{ m}$$

Angström

Petite Chose
au Microscope
électronique

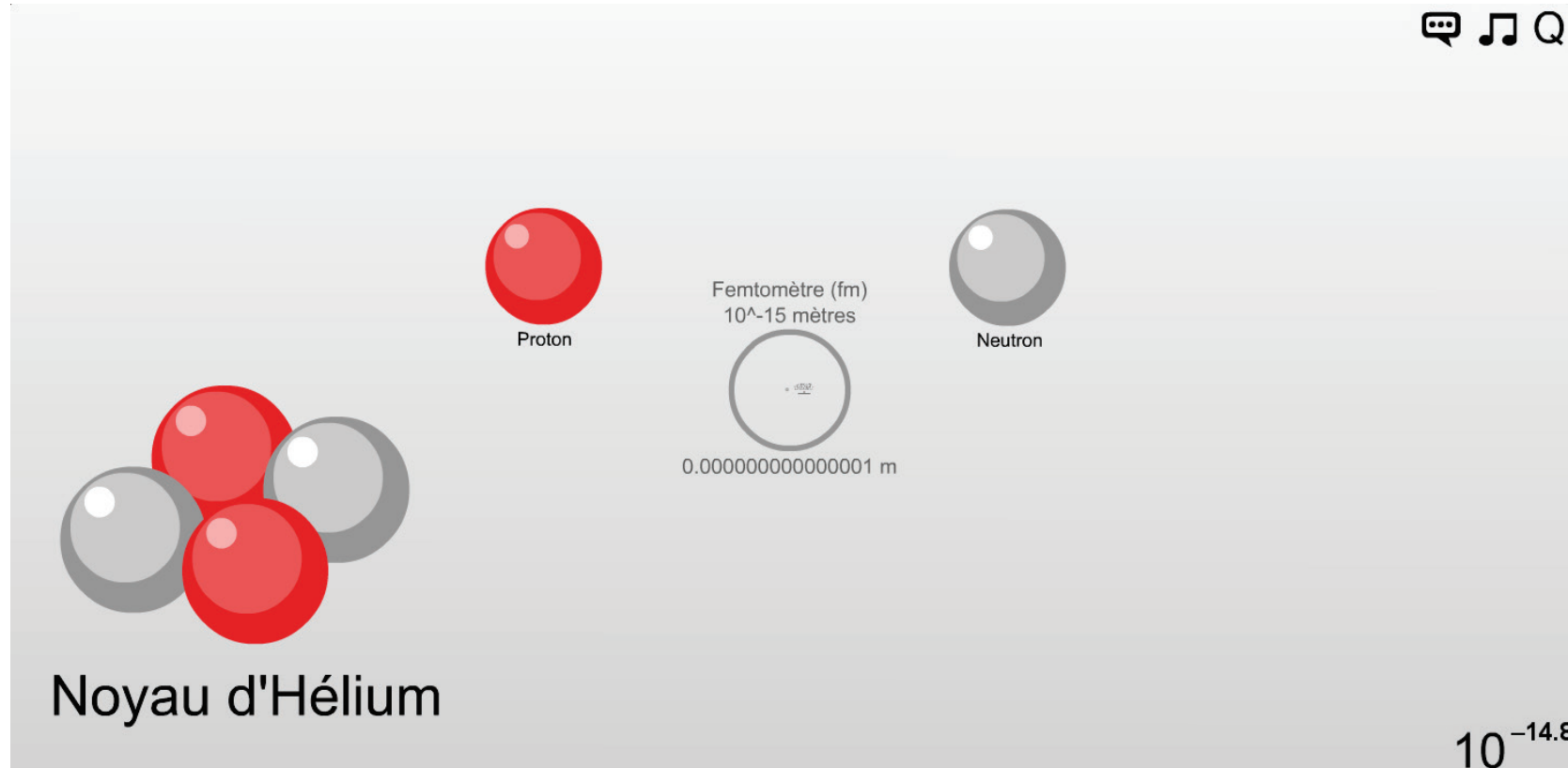
Atome d'Hydrogène

Atome d'Hélium

$10^{-10.4}$

Voyage vers l'infiniment petit

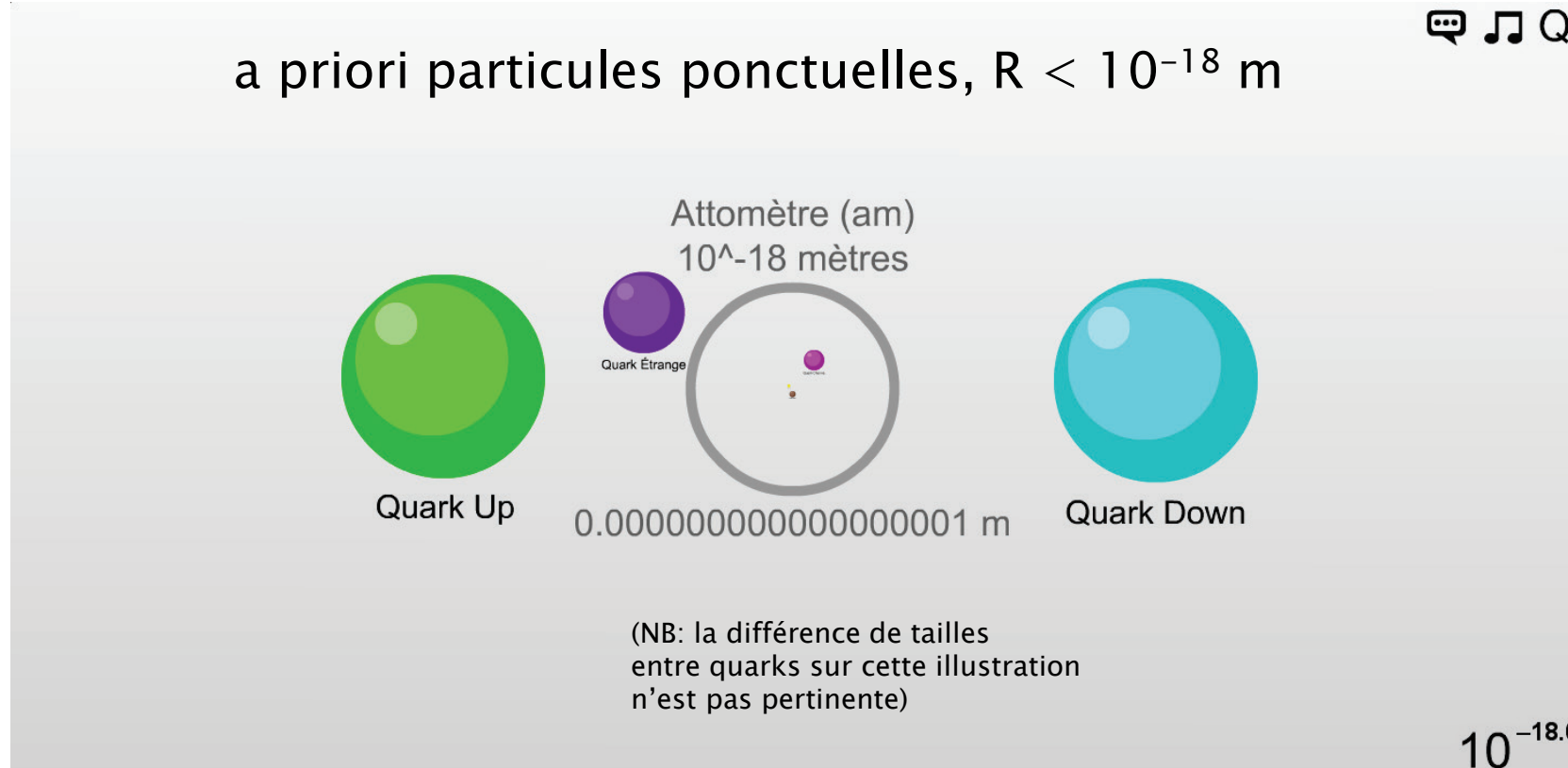
$1 \text{ fm} = 10^{-15} \text{ m} = 0.000000000000001 \text{ m}$



© 2012 Cary and Michael Huang (<http://htwins.net>)

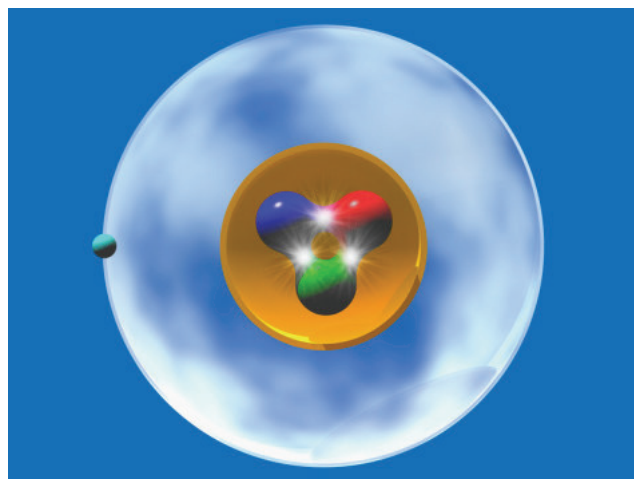
Voyage vers l'infiniment petit

1 am = 10^{-18} m = 0.0000000000000001 m



Atome d'hydrogène & le vide

Le plus simple des atomes: un proton, un électron



Si le proton avait un diamètre de 10cm, un quark mesurerait moins de 0.1mm et un atome environ 10km !!
Un atome contient essentiellement du vide.

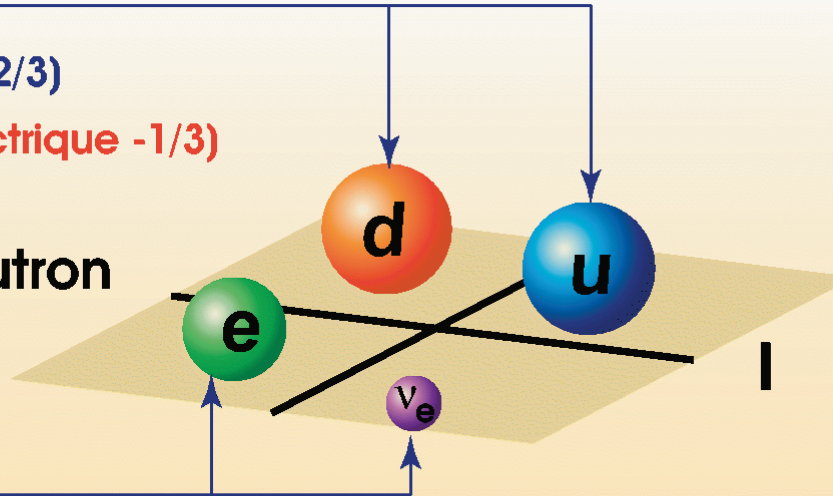
La matière ordinaire: 3 briques

Quarks:

Up (charge électrique 2/3)

et Down (charge électrique -1/3)

Ils composent
le proton et le neutron

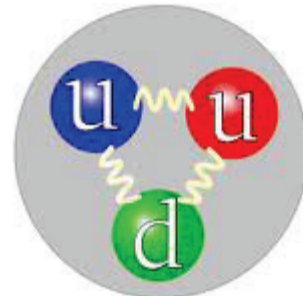


Leptons :

l'électron et son
neutrino associé

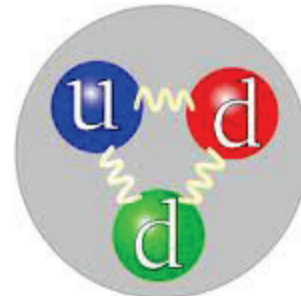
Matière ordinaire,
dont nous sommes constitués

proton



$$q_p = 2/3 + 2/3 - 1/3 = +1$$

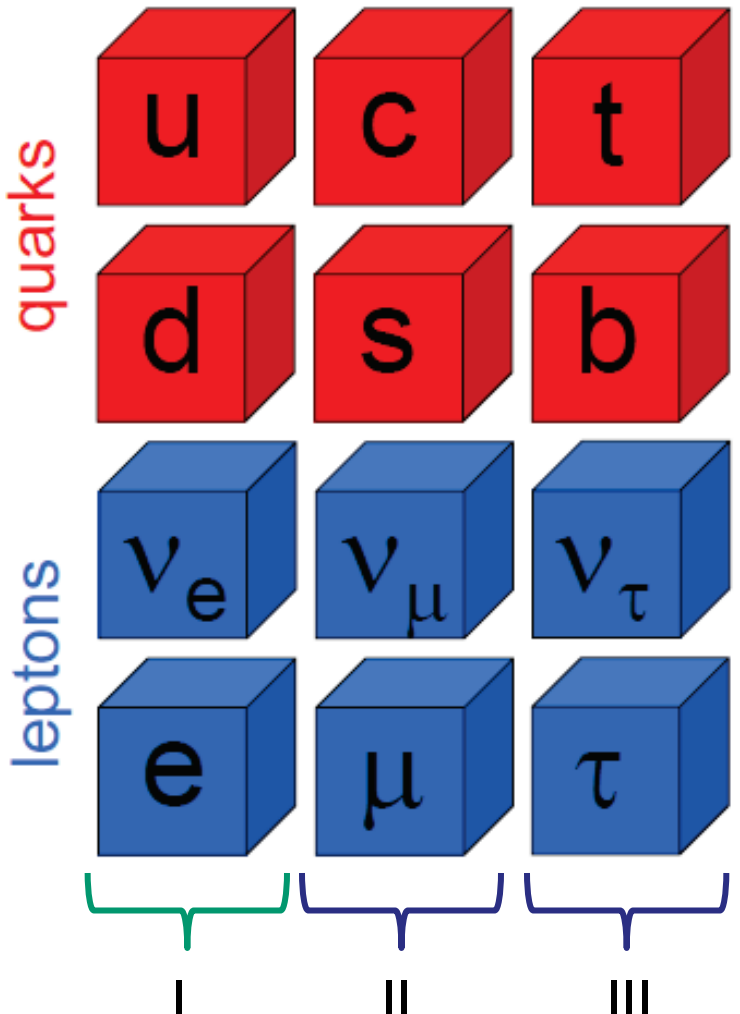
neutron



$$q_n = -1/3 - 1/3 + 2/3 = 0$$

Le Modèle Standard: particules de matière

Trois familles ou générations:



- matière ordinaire: u, d, e, ν_e
- deux répliques plus massives mais instables:
 - $m(\tau) \simeq 200 \times m(\mu) \simeq 3500 \times m(e)$
 - $m(t) \simeq 100 \times m(c) \simeq 90000 \times m(u)$
- NB: ces particules ont disparu une fraction de seconde après le Big-Bang, elles sont recréées dans des accélérateurs naturels (rayons cosmiques) ou artificiels.
- certains fermions prédis par raison de symétrie(s), découverts ensuite: c, b, t, ν_τ . Inversement, les découvertes expérimentales ont aussi structuré le modèle.
- dernier quark (top) découvert en 1994
- dernier lepton (ν_τ) observé directement en 2001

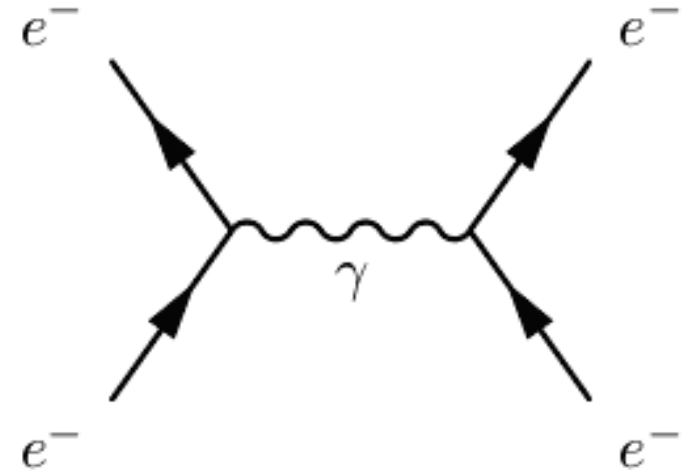
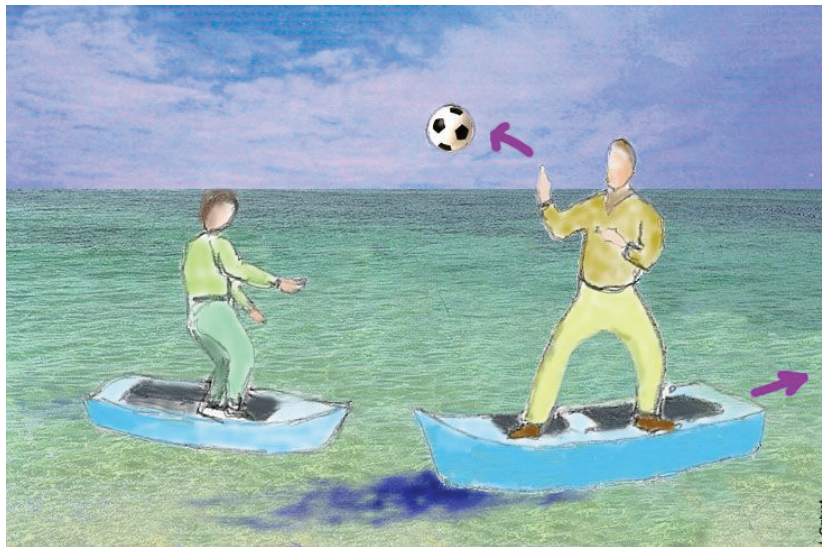
+ leurs anti-particules (anti-matière)

Forces: interactions entre particules

Nos particules de matière, les fermions, s'organisent en structures régies par des forces:

- planètes gravitant autour d'une étoile
- électrons tournant autour des noyaux atomiques
- protons et neutrons reliés dans le noyau
- etc

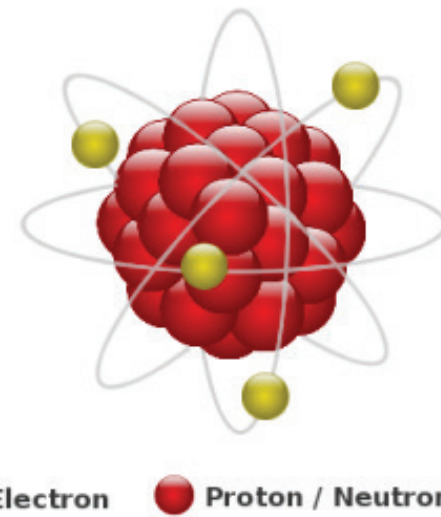
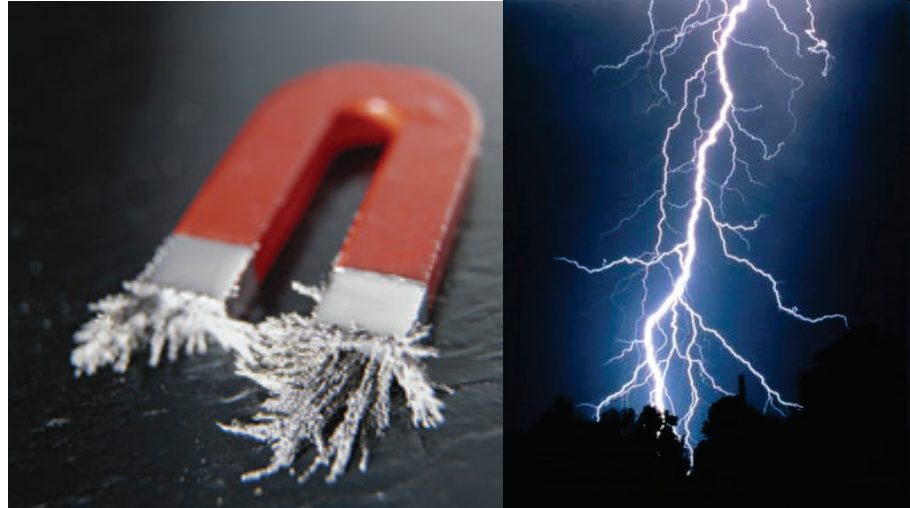
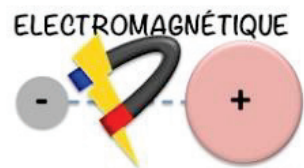
Ces forces sont véhiculées par d'autres particules ! Elles sont d'un type un peu différent, appelé bosons.



Les forces et leurs médiateurs

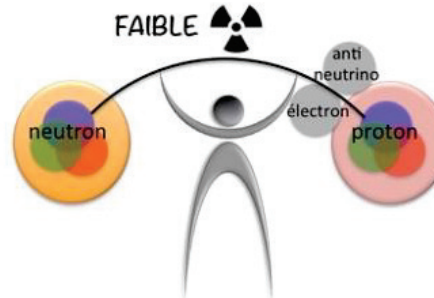
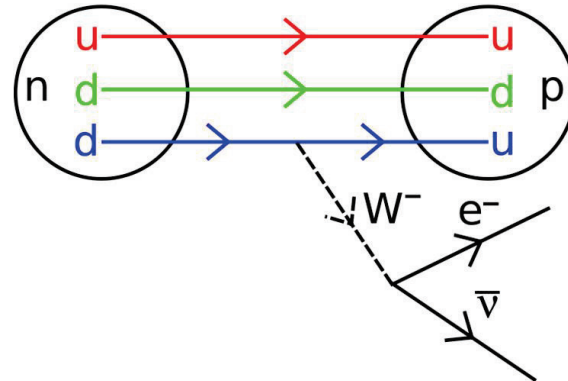
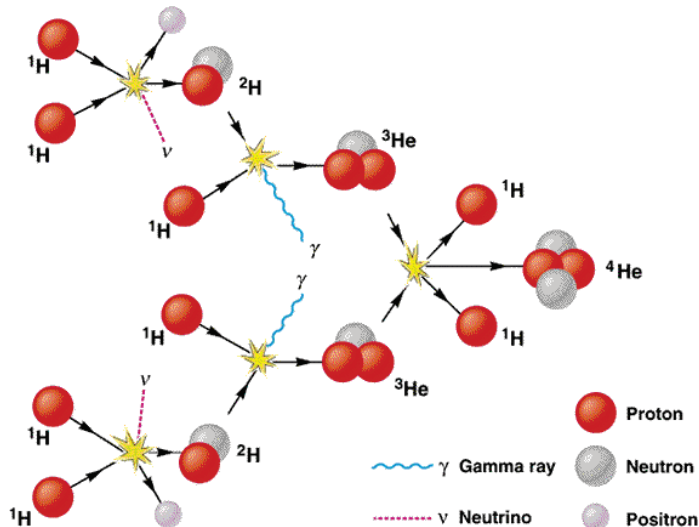
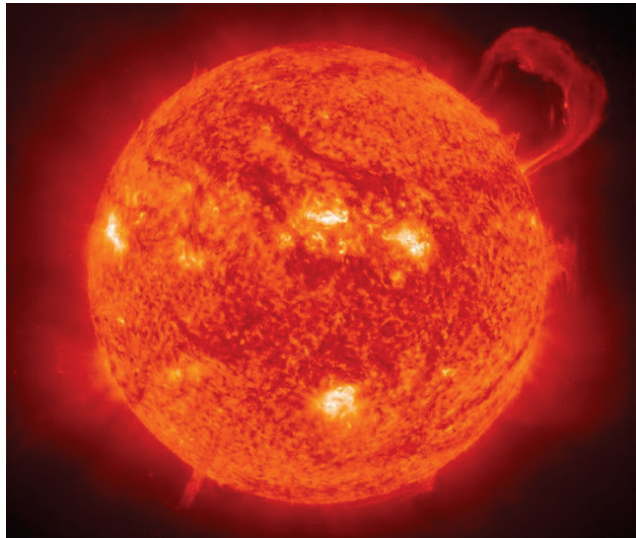
Lumière, électricité, magnétisme
Chimie, biologie

le photon γ
masse nulle
portée infinie
intensité $\equiv 1$



La force électromagnétique

Les forces et leurs médiateurs



bosons W^\pm, Z^0
~100x masse proton
portée: 10^{-18} m
intensité 10^2

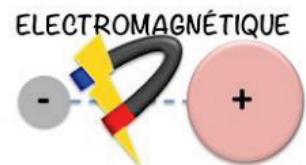
Radioactivité β , réactions nucléaires dans les étoiles

La force nucléaire faible

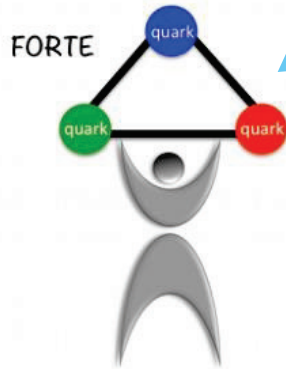
Les forces et leurs médiateurs

Lumière, électricité, magnétisme
Chimie, biologie

le photon γ
masse nulle
portée infinie
intensité $\equiv 1$



8 gluons
masse nulle
portée: 10^{-15} m
intensité 10^6



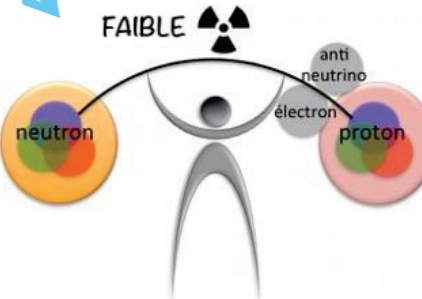
Cohésion des noyaux atomiques,
stabilité du proton, radioactivité α

NB: énergie gluons, quarks
→ 95% de la masse du proton !!

Pesanteur, mouvement des astres,
marées, ...

graviton ?

portée infinie
intensité 10^{-30}

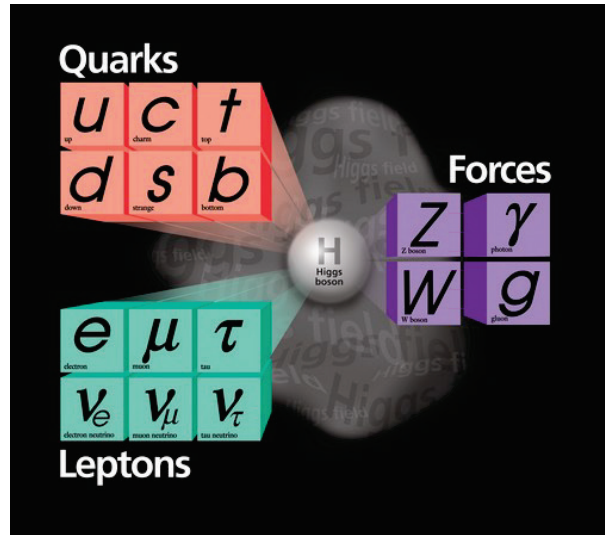


bosons W^\pm, Z^0
~100x masse proton
portée: 10^{-18} m
intensité 10^2

Radioactivité β , réactions nucléaires
dans les étoiles

Résumé: le Modèle Standard en 2011

$$\begin{aligned}
& -\frac{1}{2}\partial_\nu g_\mu^a \partial_\nu g_\mu^a - g_s f^{abc} \partial_\mu g_\nu^a g_\mu^b g_\nu^c - \frac{1}{4}g_s^2 f^{abc} f^{ade} g_\mu^b g_\nu^c g_\mu^d g_\nu^e + \\
& \frac{1}{2}ig_s^2 (\bar{q}_i^\sigma \gamma^\mu q_j^\sigma) g_\mu^a + \bar{G}^a \partial^2 G^a + g_s f^{abc} \partial_\mu \bar{G}^a G^b g_\mu^c - \partial_\nu W_\mu^+ \partial_\nu W_\mu^- - \\
& M^2 W_\mu^+ W_\mu^- - \frac{1}{2} \partial_\nu Z_\mu^0 \partial_\nu Z_\mu^0 - \frac{1}{2c_w^2} M^2 Z_\mu^0 Z_\mu^0 - \frac{1}{2} \partial_\mu A_\nu \partial_\mu A_\nu - \frac{1}{2} \partial_\mu H \partial_\mu H - \\
& \frac{1}{2} m_h^2 H^2 - \partial_\mu \phi^+ \partial_\mu \phi^- - M^2 \phi^+ \phi^- - \frac{1}{2} \partial_\mu \phi^0 \partial_\mu \phi^0 - \frac{1}{2c_w^2} M \phi^0 \phi^0 - \beta_h [\frac{2M^2}{g^2} + \\
& \frac{2M}{g} H + \frac{1}{2}(H^2 + \phi^0 \phi^0 + 2\phi^+ \phi^-)] + \frac{2M^4}{g^2} \alpha_h - ig c_w [\partial_\nu Z_\mu^0 (W_\mu^+ W_\nu^- - \\
& W_\nu^+ W_\mu^-) - Z_\mu^0 (W_\mu^+ \partial_\nu W_\nu^- - W_\mu^- \partial_\nu W_\mu^+) + Z_\mu^0 (W_\nu^+ \partial_\nu W_\mu^- - \\
& W_\nu^- \partial_\nu W_\mu^+) - ig s_w [\partial_\nu A_\mu (W_\mu^+ W_\nu^- - W_\nu^+ W_\mu^-) - A_\nu (W_\mu^+ \partial_\nu W_\mu^- - \\
& W_\mu^- \partial_\nu W_\mu^+) + A_\mu (W_\nu^+ \partial_\nu W_\mu^- - W_\nu^- \partial_\nu W_\mu^+)] - \frac{1}{2} g^2 W_\mu^+ W_\nu^- W_\mu^- W_\nu^+ + \\
& \frac{1}{2} g^2 W_\mu^+ W_\nu^- W_\nu^+ W_\mu^- + g^2 c_w^2 (Z_\mu^0 W_\mu^+ Z_\mu^0 W_\nu^- - Z_\mu^0 Z_\mu^0 W_\nu^+ W_\nu^-) + \\
& g^2 s_w^2 (A_\mu W_\mu^+ A_\nu W_\nu^- - A_\mu A_\nu W_\mu^+ W_\nu^-) + g^2 s_w c_w [A_\mu Z_\mu^0 (W_\mu^+ W_\nu^- - \\
& W_\nu^+ W_\mu^-) - 2 A_\mu Z_\mu^0 W_\nu^+ W_\nu^-] - g \alpha_h [H^3 + H \phi^0 \phi^0 + 2 H \phi^+ \phi^-] - \\
& \frac{1}{8} g^2 \alpha_h [H^4 + (\phi^0)^4 + 4(\phi^+ \phi^-)^2 + 4(\phi^0)^2 \phi^+ \phi^- + 4H^2 \phi^+ \phi^- + 2(\phi^0)^2 H^2] - \\
& g M W_\mu^+ W_\mu^- H - \frac{1}{2} g \frac{M}{c_w^2} Z_\mu^0 Z_\mu^0 H - \frac{1}{2} i g [W_\mu^+ (\phi^0 \partial_\mu \phi^- - \phi^- \partial_\mu \phi^0) - \\
& W_\mu^- (\phi^0 \partial_\mu \phi^+ - \phi^+ \partial_\mu \phi^0)] + \frac{1}{2} i g [W_\mu^+ (H \partial_\mu \phi^- - \phi^- \partial_\mu H) - W_\mu^- (H \partial_\mu \phi^+ - \\
& \phi^+ \partial_\mu H)] + \frac{1}{2} g \frac{1}{c_w} (Z_\mu^0 (H \partial_\mu \phi^0 - \phi^0 \partial_\mu H) - ig \frac{s_w}{c_w} M Z_\mu^0 (W_\mu^+ \phi^- - W_\mu^- \phi^+) + \\
& ig s_w M A_\mu (W_\mu^+ \phi^- - W_\mu^- \phi^+) - ig \frac{1-2c_w}{2c_w} Z_\mu^0 (\phi^+ \partial_\mu \phi^- - \phi^- \partial_\mu \phi^+) + \\
& ig s_w A_\mu (\phi^+ \partial_\mu \phi^- - \phi^- \partial_\mu \phi^+) - \frac{1}{4} g^2 W_\mu^+ W_\mu^- [H^2 + (\phi^0)^2 + 2\phi^+ \phi^-] - \\
& \frac{1}{4} g^2 \frac{1}{c_w^2} Z_\mu^0 Z_\mu^0 [H^2 + (\phi^0)^2 + 2(2s_w^2 - 1)^2 \phi^+ \phi^-] - \frac{1}{2} g^2 \frac{s_w}{c_w} Z_\mu^0 \phi^0 (W_\mu^+ \phi^- + \\
& W_\mu^- \phi^+) - \frac{1}{2} ig^2 \frac{s_w}{c_w} Z_\mu^0 H (W_\mu^+ \phi^- - W_\mu^- \phi^+) + \frac{1}{2} g^2 s_w A_\mu \phi^0 (W_\mu^+ \phi^- + \\
& W_\mu^- \phi^+) + \frac{1}{2} ig^2 s_w A_\mu H (W_\mu^+ \phi^- - W_\mu^- \phi^+) - g^2 \frac{s_w}{c_w} (2c_w^2 - 1) Z_\mu^0 A_\mu \phi^+ \phi^- - \\
& g^1 s_w^2 A_\mu A_\mu \phi^+ \phi^- - \bar{e}^\lambda (\gamma \partial + m_e^\lambda) e^\lambda - \bar{\nu}^\lambda \gamma \partial \nu^\lambda - \bar{u}_j^\lambda (\gamma \partial + m_u^\lambda) u_j^\lambda - \\
& \bar{d}_j^\lambda (\gamma \partial + m_d^\lambda) d_j^\lambda + ig s_w A_\mu [-(\bar{e}^\lambda \gamma^\mu e^\lambda) + \frac{2}{3} (\bar{u}_j^\lambda \gamma^\mu u_j^\lambda) - \frac{1}{3} (\bar{d}_j^\lambda \gamma^\mu d_j^\lambda)] + \\
& \frac{ig}{4c_w} Z_\mu^0 [(\bar{\nu}^\lambda \gamma^\mu (1 + \gamma^5) \nu^\lambda) + (\bar{e}^\lambda \gamma^\mu (4s_w^2 - 1 - \gamma^5) e^\lambda) + (\bar{u}_j^\lambda \gamma^\mu (\frac{2}{3}s_w^2 - \\
& 1 - \gamma^5) u_j^\lambda) + (\bar{d}_j^\lambda \gamma^\mu (1 - \frac{8}{3}s_w^2 - \gamma^5) d_j^\lambda)] + \frac{ig}{2\sqrt{2}} W_\mu^+ [(\bar{\nu}^\lambda \gamma^\mu (1 + \gamma^5) \nu^\lambda) + \\
& (\bar{u}_j^\lambda \gamma^\mu (1 + \gamma^5) C_{\lambda\kappa} d_j^\kappa)] + \frac{ig}{2\sqrt{2}} W_\mu^- [(\bar{e}^\lambda \gamma^\mu (1 + \gamma^5) \nu^\lambda) + (\bar{d}_j^\kappa C_{\lambda\kappa}^\dagger \gamma^\mu (1 + \\
& \gamma^5) u_j^\lambda)] + \frac{ig}{2\sqrt{2}} \frac{m_\lambda}{M} [-\phi^+ (\bar{\nu}^\lambda (1 - \gamma^5) e^\lambda) + \phi^- (\bar{e}^\lambda (1 + \gamma^5) \nu^\lambda)] - \\
& \frac{ig}{2} \frac{m_\lambda}{M} [H (\bar{e}^\lambda e^\lambda) + i \phi^0 (\bar{e}^\lambda \gamma^5 e^\lambda)] + \frac{ig}{2M\sqrt{2}} \phi^+ [-m_d^\kappa (\bar{u}_j^\lambda C_{\lambda\kappa} (1 - \gamma^5) d_j^\kappa)] + \\
& m_u^\lambda (\bar{u}_j^\lambda C_{\lambda\kappa} (1 + \gamma^5) d_j^\kappa) + \frac{ig}{2M\sqrt{2}} \phi^- [m_d^\lambda (\bar{d}_j^\lambda C_{\lambda\kappa}^\dagger (1 + \gamma^5) u_j^\kappa) - m_u^\kappa (\bar{d}_j^\lambda C_{\lambda\kappa}^\dagger (1 - \\
& \gamma^5) u_j^\kappa)] - \frac{ig}{2} \frac{m_\lambda}{M} H (\bar{u}_j^\lambda u_j^\lambda) - \frac{ig}{2} \frac{m_\lambda}{M} H (\bar{d}_j^\lambda d_j^\lambda) + \frac{ig}{2} \frac{m_\lambda}{M} \phi^0 (\bar{u}_j^\lambda \gamma^5 u_j^\lambda) - \\
& \frac{ig}{2} \frac{m_\lambda}{M} \phi^0 (\bar{d}_j^\lambda \gamma^5 d_j^\lambda) + \bar{X}^+ (\partial^2 - M^2) X^+ + \bar{X}^- (\partial^2 - M^2) X^- + \bar{X}^0 (\partial^2 - \\
& \frac{M^2}{c_w^2}) X^0 + \bar{Y} \partial^2 Y + ig c_w W_\mu^+ (\partial_\mu \bar{X}^0 X^- - \partial_\mu \bar{X}^+ X^0) + ig s_w W_\mu^+ (\partial_\mu \bar{Y} X^- - \\
& \partial_\mu \bar{X}^+ Y) + ig c_w W_\mu^- (\partial_\mu \bar{X}^- X^0 - \partial_\mu \bar{X}^0 X^+) + ig s_w W_\mu^- (\partial_\mu \bar{X}^- Y - \\
& \partial_\mu \bar{Y} X^+) + ig c_w Z_\mu^0 (\partial_\mu \bar{X}^+ X^- - \partial_\mu \bar{X}^- X^+) + ig s_w A_\mu (\partial_\mu \bar{X}^+ X^+ - \\
& \partial_\mu \bar{X}^- X^-) - \frac{1}{2} g M [\bar{X}^+ X^+ H + \bar{X}^- X^- H + \frac{1}{c_w^2} \bar{X}^0 X^0 H] + \\
& \frac{1-2c_w^2}{2c_w^2} ig M [\bar{X}^+ X^0 \phi^+ - \bar{X}^- X^0 \phi^-] + \frac{1}{2c_w^2} ig M [\bar{X}^0 X^- \phi^+ - \bar{X}^0 X^+ \phi^-] + \\
& ig M s_w [\bar{X}^0 X^- \phi^+ - \bar{X}^0 X^+ \phi^-] + \frac{1}{2} ig M [\bar{X}^+ X^+ \phi^0 - \bar{X}^- X^- \phi^0]
\end{aligned}$$



Fermions Bosons
Higgs ?

La théorie mathématique sans le mécanisme de Higgs: pas de masse aux particules !
Or on sait que les bosons W/Z (et les fermions) sont massifs !!

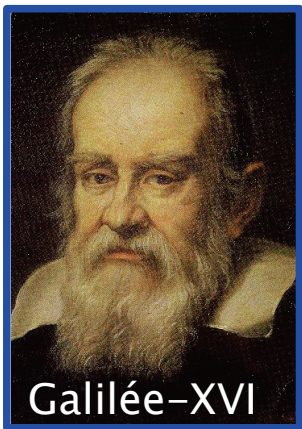
Le photon et les bosons W/Z

Photon: masse nulle, portée infinie

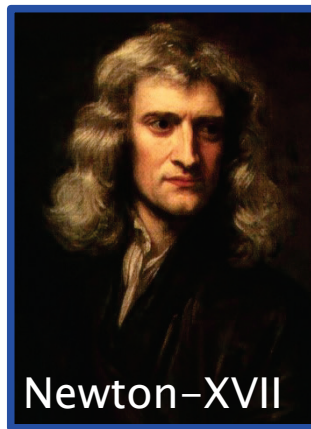
Bosons W/Z: masse finie (100x proton), portée finie



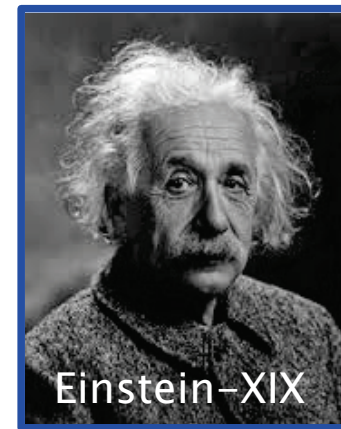
La masse



Galilée-XVI



Newton-XVII



Einstein-XIX

$$P=mg$$

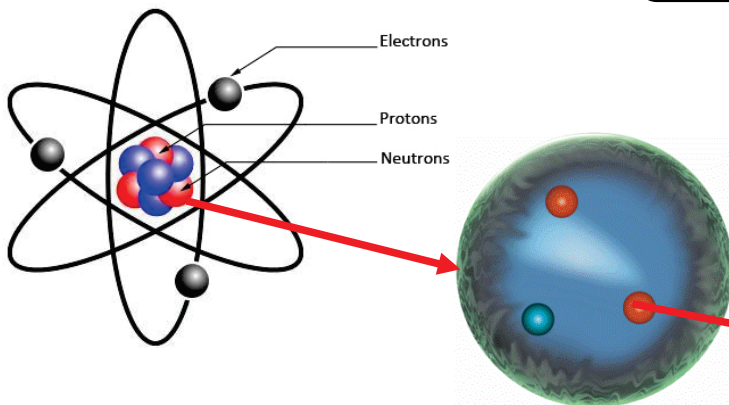
Masse gravitationnelle

$$\Sigma F=ma$$

Masse inertielle

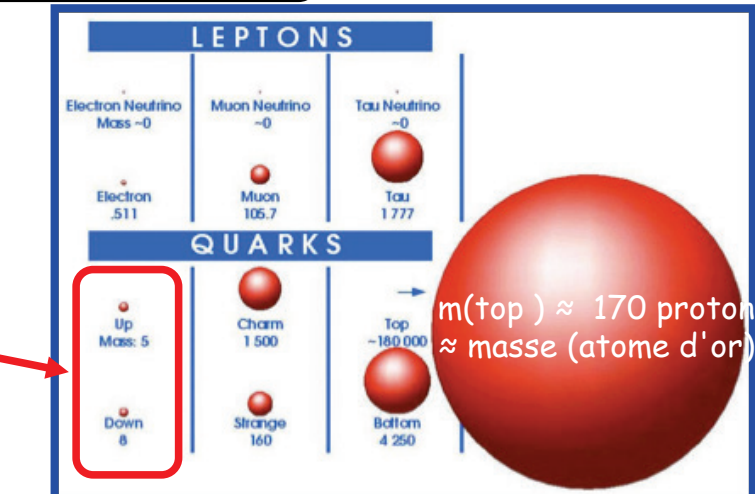
$$E=mc^2$$

Équivalence m/E



Masse de la matière (p,n) :

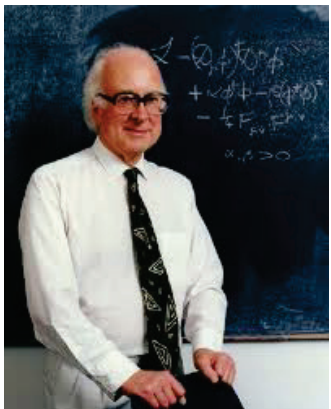
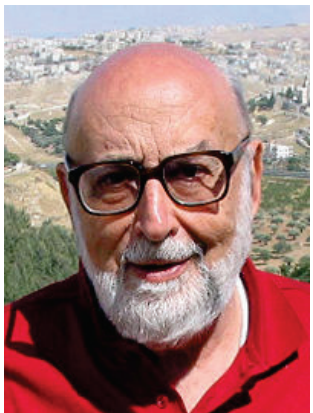
- 1 % masse des constituants (quarks)
- 99 % interaction entre constituants



masse des particules élémentaires !

Le mécanisme de Higgs: 1964

ou comment donner une masse aux bosons W et Z (puis aux autres particules élémentaires)



BROKEN SYMMETRY AND THE MASS OF GAUGE VECTOR MESONS*

F. Englert and R. Brout

Faculté des Sciences, Université Libre de Bruxelles, Bruxelles, Belgium
(Received 26 June 1964)

It is of interest to inquire whether gauge vector mesons acquire mass through interaction¹; by a gauge vector meson we mean a Yang-Mills field² associated with the extension of a Lie group from global to local symmetry. The importance of this problem resides in the possibility that strong-interaction physics originates from massive gauge fields related to a system of conserved currents.³ In this note, we shall show that in certain cases vector mesons do indeed acquire mass when the vacuum is degenerate with respect to a compact Lie group.

Theories with degenerate vacuum (broken symmetry) have been the subject of intensive study since their inception by Nambu.⁴⁻⁶ A

those vector mesons which are coupled to currents that "rotate" the original vacuum are the ones which acquire mass [see Eq. (6)].

We shall then examine a particular model based on chirality invariance which may have a more fundamental significance. Here we begin with a chirality-invariant Lagrangian and introduce both vector and pseudovector gauge fields, thereby guaranteeing invariance under both local phase and local γ_5 -phase transformations. In this model the gauge fields themselves may break the γ_5 invariance leading to a mass for the original Fermi field. We shall show in this case that the pseudovector field acquires mass.

In the last paragraph we sketch a simple argument which renders these results reason-

VOLUME 13, NUMBER 16

PHYSICAL REVIEW LETTERS

19 OCTOBER 1964

BROKEN SYMMETRIES AND THE MASSES OF GAUGE BOSONS

Peter W. Higgs

Tait Institute of Mathematical Physics, University of Edinburgh, Edinburgh, Scotland
(Received 31 August 1964)

In a recent note¹ it was shown that the Goldstone theorem,² that Lorentz-covariant field theories in which spontaneous breakdown of symmetry under an internal Lie group occurs contain zero-mass particles, fails if and only if the conserved currents associated with the internal group are coupled to gauge fields. The purpose of the present note is to report that, as a consequence of this coupling, the spin-one quanta of some of the gauge fields acquire mass; the longitudinal degrees of freedom of these particles (which would be absent if their mass were zero) go over into the Goldstone bosons when the coupling tends to zero. This phenomenon is just the relativistic analog of the plasmon phenome-

about the "vacuum" solution $\varphi_1(x) = 0$, $\varphi_2(x) = \varphi_0$:

$$\partial^\mu \{\partial_\mu (\Delta\varphi_1) - e\varphi_0 A_\mu\} = 0, \quad (2a)$$

$$\{\partial^2 - 4\varphi_0^2 V'(\varphi_0^2)\}(\Delta\varphi_2) = 0, \quad (2b)$$

$$\partial_\nu F^{\mu\nu} = e\varphi_0 \{\partial^\mu (\Delta\varphi_1) - e\varphi_0 A_\mu\}. \quad (2c)$$

Equation (2b) describes waves whose quanta have (bare) mass $2\varphi_0 \{V'(\varphi_0^2)\}^{1/2}$; Eqs. (2a) and (2c) may be transformed, by the introduction of new variables

$$B_\mu = A_\mu - (e\varphi_0)^{-1} \partial_\mu (\Delta\varphi_1),$$

mais aussi travaux de: G. Guralnik, C. Hagen, T. Kibble

Conséquences: existence d'un champ de Higgs, et d'un boson scalaire

Le mécanisme de Higgs: analogie

R. Feynman: "I really can't explain [magnetic force] in terms of something you're more familiar with"

Le défi lancé par Sir W. Waldegrave en 1993:
"Expliquez-moi en une page ce qu'est le
boson de Higgs et pourquoi il faut le trouver"

- ➔ un des gagnants: D. Miller (UCL)
- ➔ P. Higgs: "The analogy I object least to"

Le mécanisme de Higgs: analogie

R. Feynman: "I really can't explain [magnetic force] in terms of something you're more familiar with"

Le défi lancé par Sir W. Waldegrave en 1993:
"Expliquez-moi en une page ce qu'est le
boson de Higgs et pourquoi il faut le trouver"

- ➔ un des gagnants: D. Miller (UCL)
- ➔ P. Higgs: "The analogy I object least to"



politiciens / le champ de Higgs

Le mécanisme de Higgs: analogie

R. Feynman: "I really can't explain [magnetic force] in terms of something you're more familiar with"

Le défi lancé par Sir W. Waldegrave en 1993:
"Expliquez-moi en une page ce qu'est le
boson de Higgs et pourquoi il faut le trouver"

- un des gagnants: D. Miller (UCL)
- P. Higgs: "The analogy I object least to"



politiciens / le champ de Higgs



une célébrité/particule a du mal
à se frayer un chemin

Le mécanisme de Higgs: analogie

R. Feynman: "I really can't explain [magnetic force] in terms of something you're more familiar with"

Le défi lancé par Sir W. Waldegrave en 1993:
"Expliquez-moi en une page ce qu'est le
boson de Higgs et pourquoi il faut le trouver"

- un des gagnants: D. Miller (UCL)
- P. Higgs: "The analogy I object least to"



politiciens / le champ de Higgs



une célébrité/particule a du mal
à se frayer un chemin

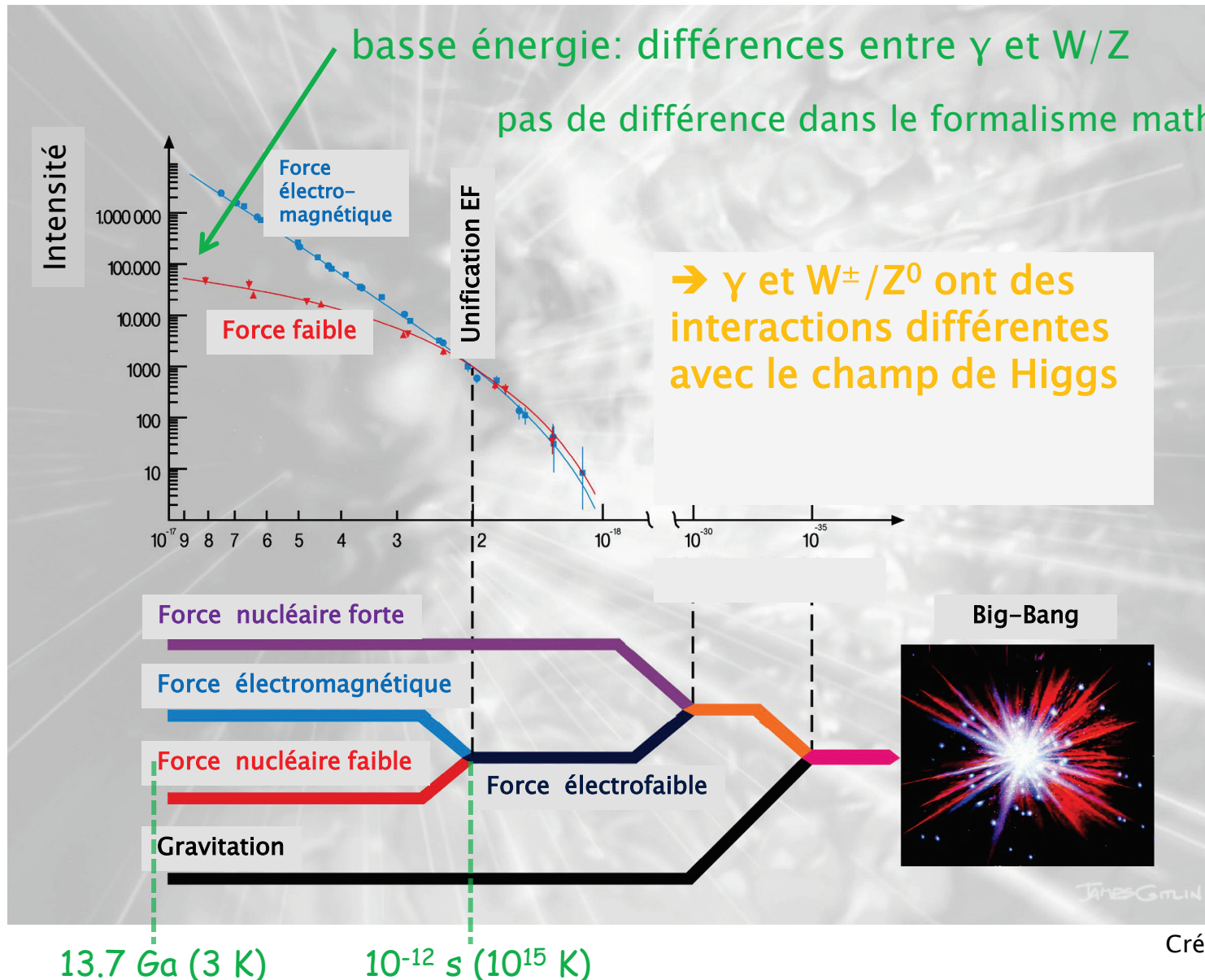


une rumeur est lancée / excitation
du champ de Higgs



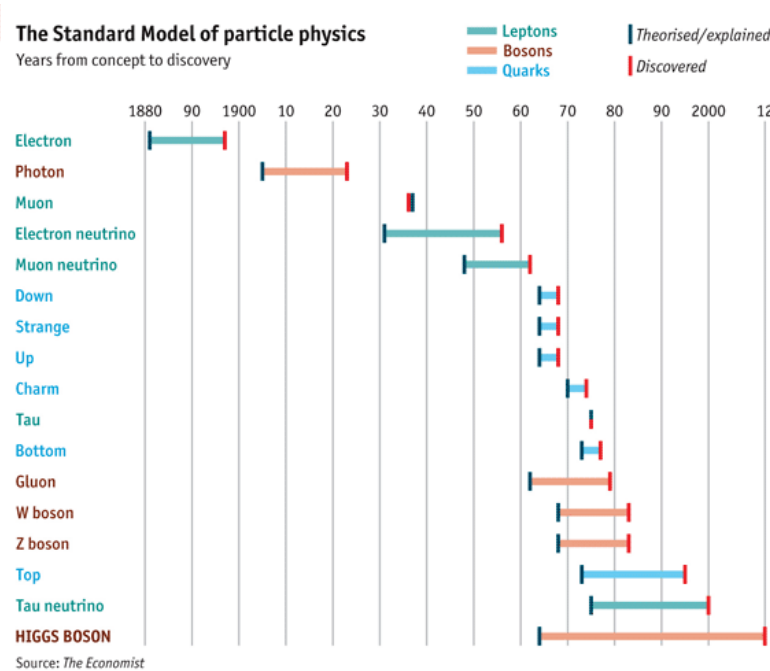
→ perturbation temporaire /
particule de Higgs

Unification électrofaible:



L'outil pour la recherche du boson de Higgs: l'accélérateur LHC

Une longue quête ...



Quelques jalons:

- 1964: articles de R. Brout, F. Englert, P. Higgs
- 1967: théorie électrofaible (Glashow, Salam, Weinberg)
- 1973: courants neutres (CERN)
- 1983: observation des W^\pm et Z^0 (CERN)
- 1983: mise en service du Tevatron
- 1983: réflexions sur l'intérêt d'un "LHC" (C. Rubbia)
- 1983: réflexions pour un "SSC" (USA)
- 1989: mise en service du LEP (CERN)
- 1993: abandon du projet SSC
- 1994: lancement officiel du projet LHC
- 2000: arrêt du LEP, pas de signe de H^0
- 2011: arrêt du Tevatron, évidence $H \rightarrow b\bar{b}$?
- 2012: découverte d'un boson (de Higgs?) au LHC

Les grandes phases du projet LHC:

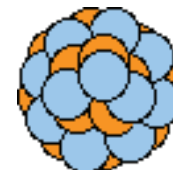
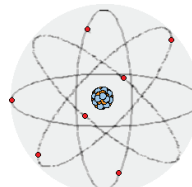
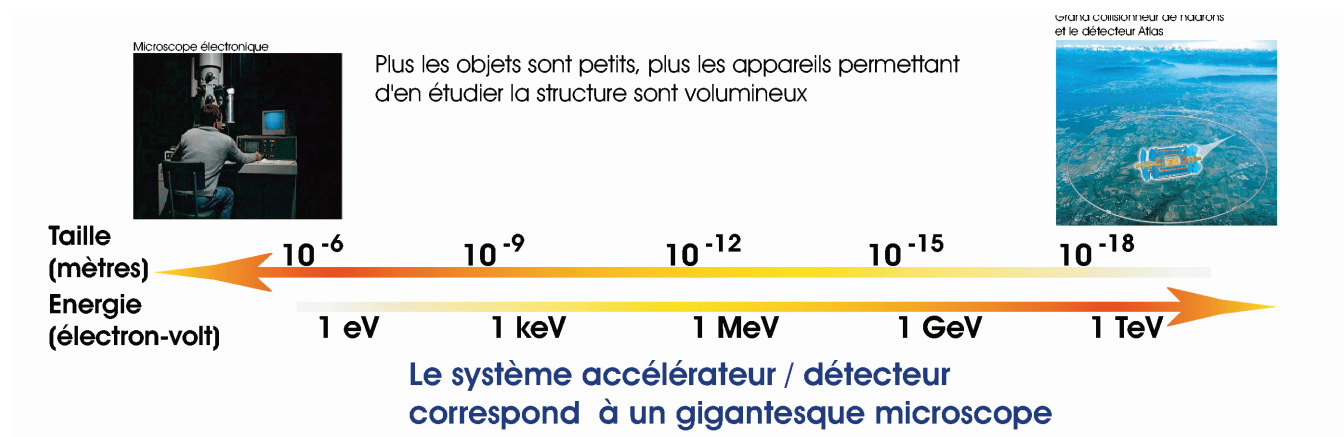
- 1984–1998: conception de l'accélérateur et des détecteurs
- 1992: création de la collaboration ATLAS (le CPPM en fait déjà partie)
- années 90: turbulences financières...
- 1998–2008: construction du LHC et des détecteurs
- 2008: mise en service, panne majeure
- 2009: redémarrage, phase à 7 TeV jusqu'à fin 2012
- ~2014: redémarrage à ~14 TeV, puis phase à haute-luminosité → 2030 ?

Pourquoi des accélérateurs de particules ?

On a besoin de sonder la matière avec des énergies toujours plus élevées pour:

1. étudier des objets plus petits

- Mécanique quantique: une particule d'énergie E est associée à une longueur d'onde $\lambda = h/E$
- Plus λ est petite, plus on peut voir des détails fins

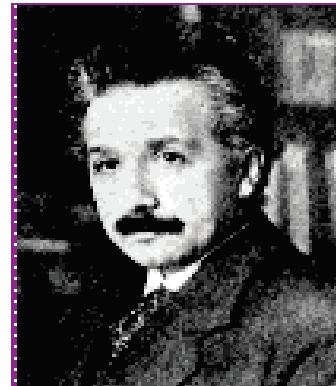


Les collisions de haute énergie

2. créer des particules de plus en plus lourdes:

→ la relativité restreinte exprime l'équivalence entre masse et énergie

$$E = mc^2$$



Dans un accélérateur:

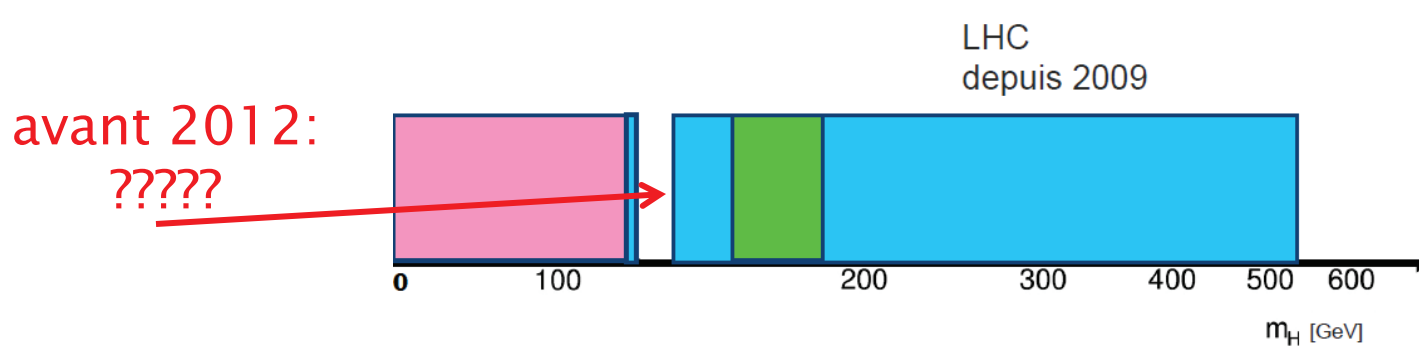
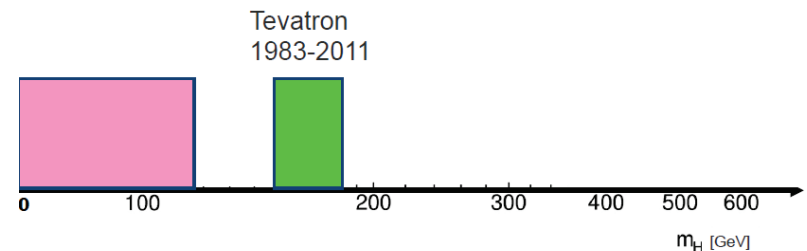
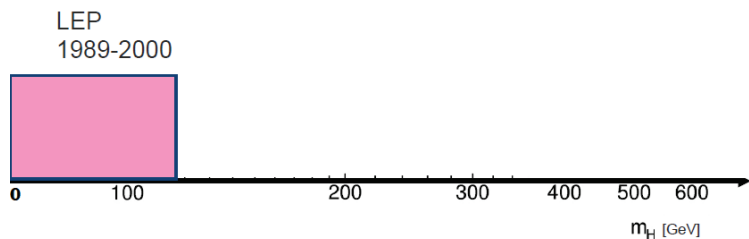
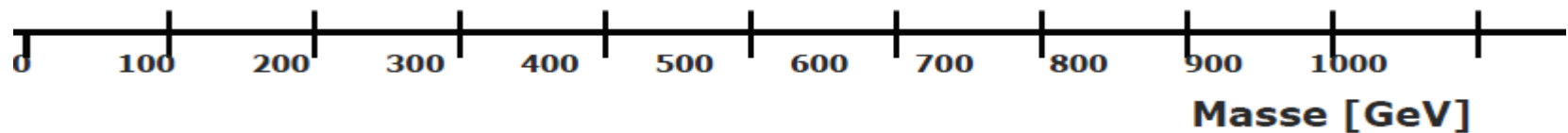
- toute l'énergie cinétique E de la collision est transformée en masse
- $E = E(\text{faisceau protons}_1) + E(\text{faisceau protons}_2)$

Collision classique ou quantique



La chasse au Higgs avant le LHC

?



Le Grand Collisionneur de Hadrons LHC



Laboratoire européen de physique des particules (CERN)

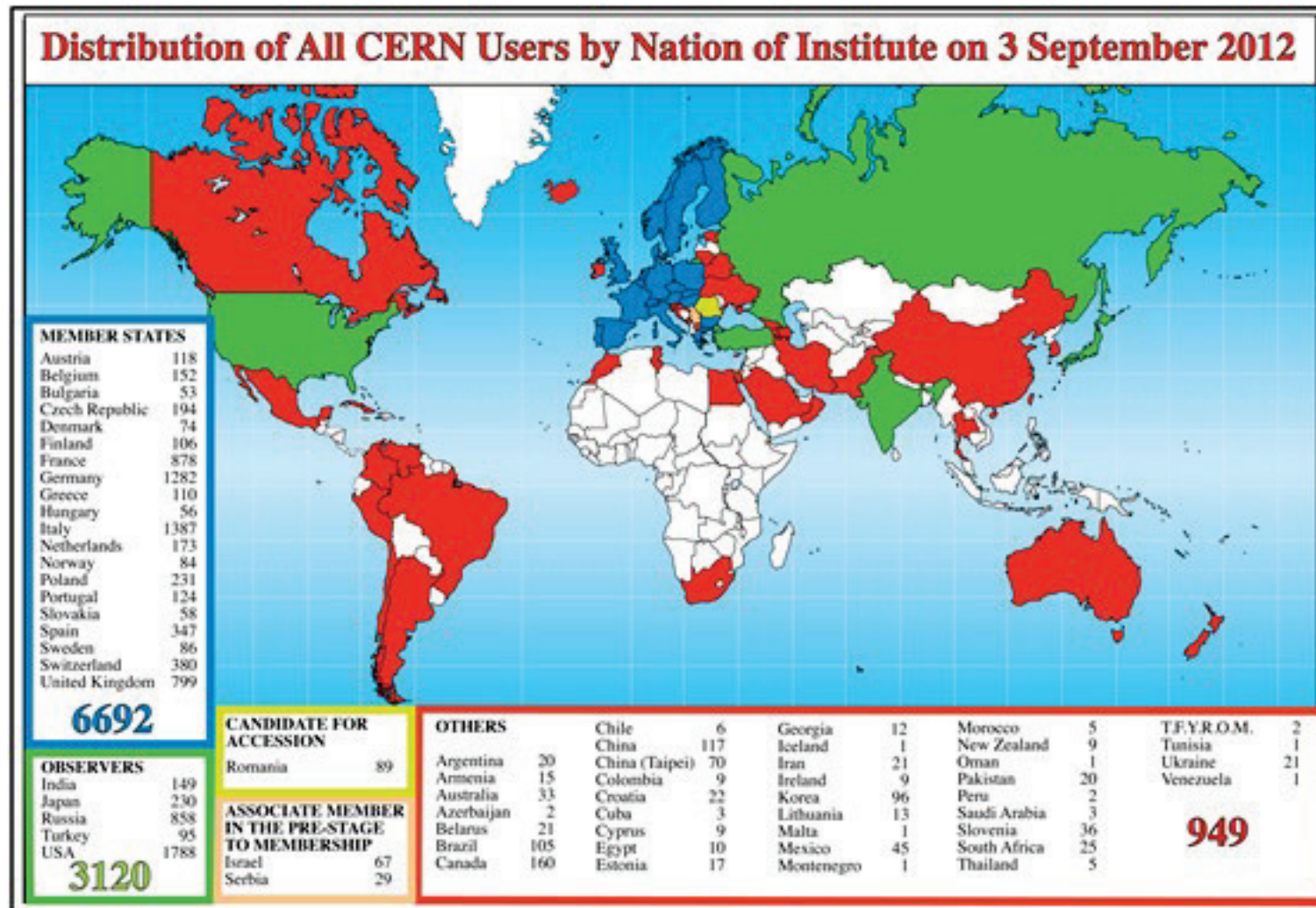


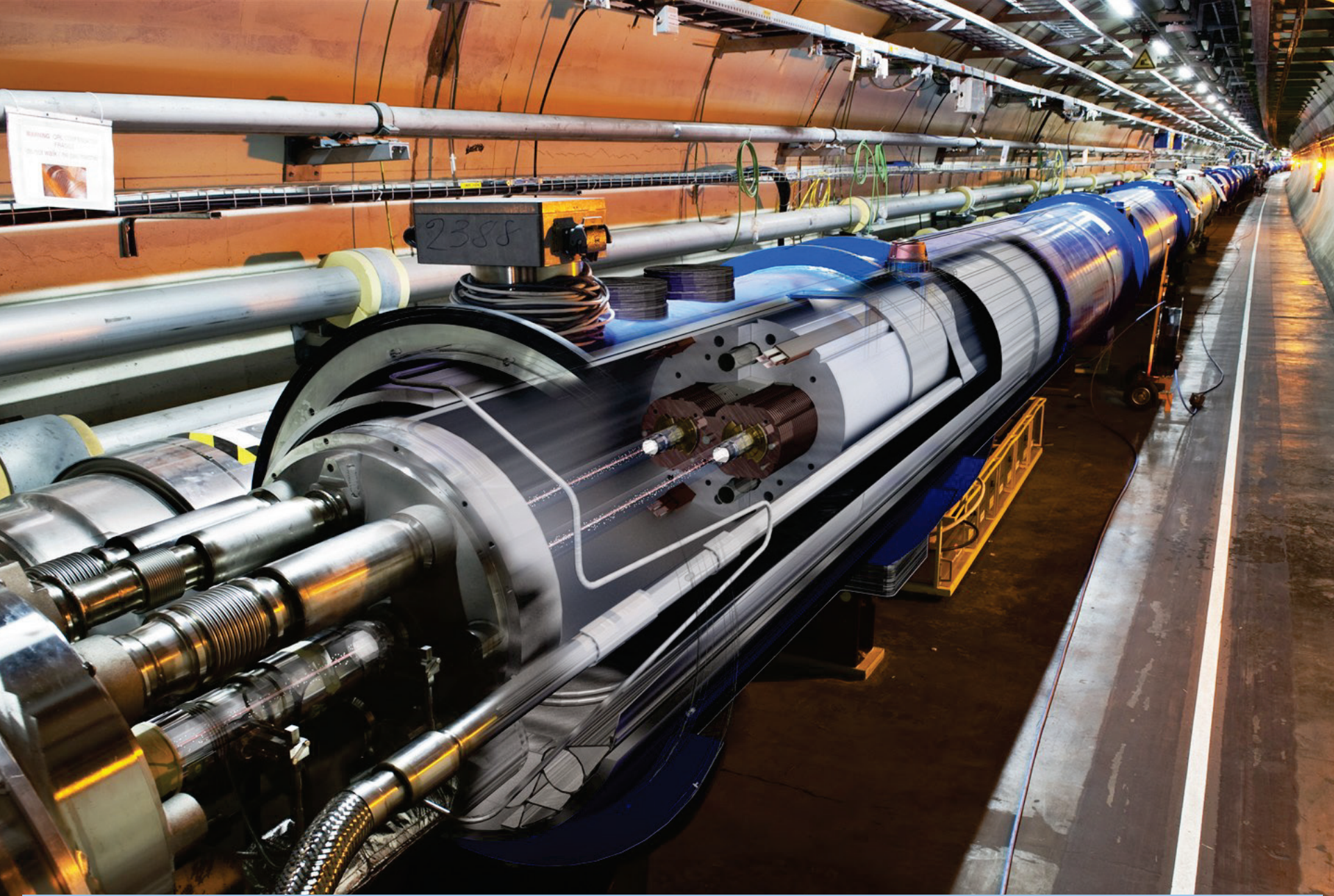
Le plus grand laboratoire de physique des particules du monde:
20 états-membres,
plusieurs états associés



Organisation internationale
Basée à Genève (Suisse), site en Suisse & France
Créé en 1953

Un laboratoire global





Le Grand Collisionneur de Hadrons: LHC

Le LHC en quelques faits

- La plus grande et la plus complexe machine scientifique jamais construite
- Un proton dans le LHC parcourt 11000 fois par seconde les 27km
- 9600 aimants dont 1232 dipolaires supraconducteurs de 8.3T pour courber la trajectoire des protons
- Le plus grand réfrigérateur du monde: 27 km à une température inférieure à celle de l'espace intersidéral. 100 t d'hélium superfluide à -271 C°
- Le vide presque parfait: pression 10x plus faible que sur la Lune
- Au niveau de la collision, des températures un milliard de fois plus élevées qu'au cœur du Soleil
- Puissance consommée par le LHC: ~120 MW

Energie des protons

En 2012, l'énergie des protons dans chaque faisceau était de 3.5 TeV (~7 TeV en 2014), ce qui conduit à des collisions avec 7 TeV (14 TeV) d'énergie disponible.

eV: énergie qu'acquiert un électron accéléré par une d.d.p. de 1V
1 TeV = 10^{12} eV = 1.6×10^{-7} Joule

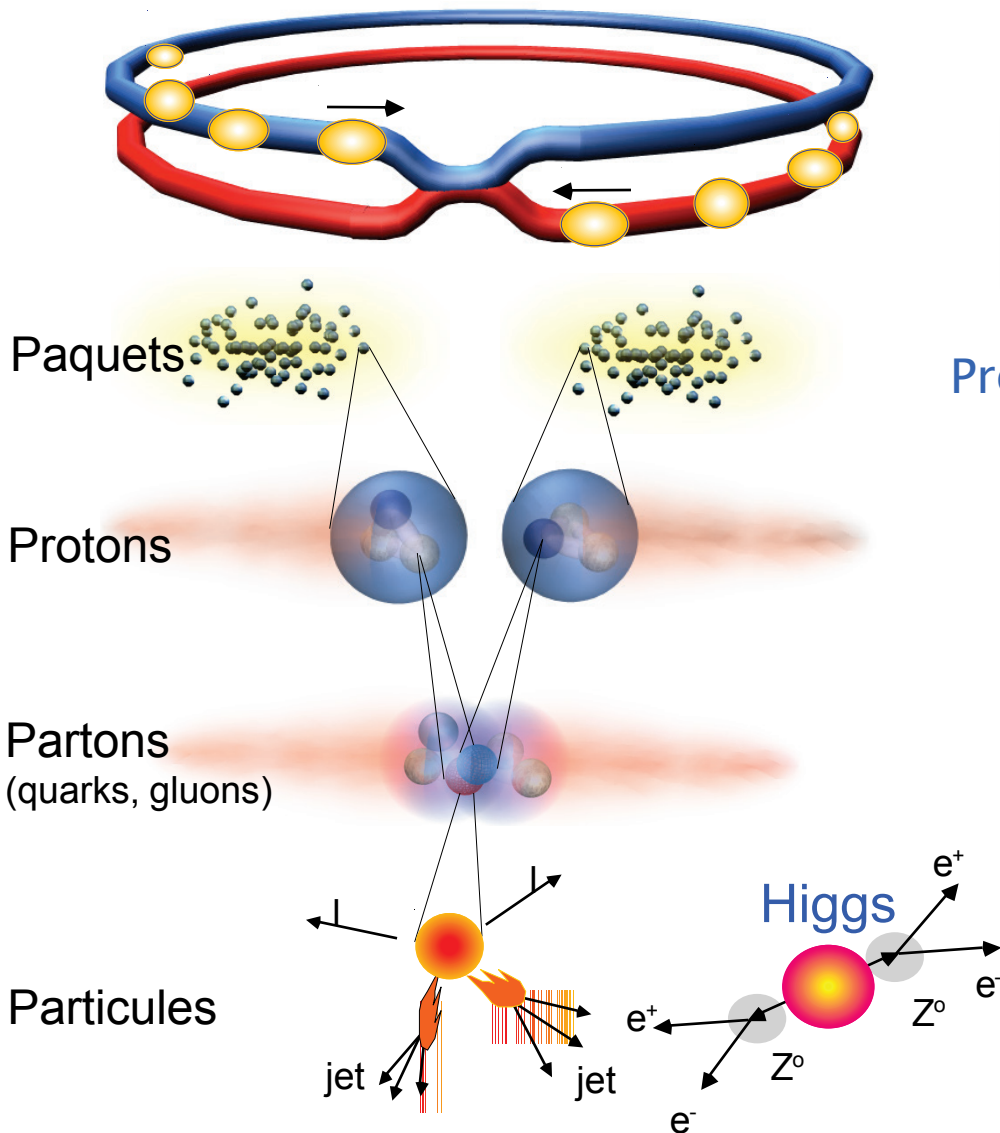
Energie d'un proton dans le faisceau: 3.5 TeV

- c'est l'énergie cinétique d'un moustique en vol !
- mais répartie sur un seul proton ...

Energie totale d'un faisceau: $3.5 \text{ TeV} \times N_p = 350 \text{ MJ}$

- c'est l'énergie d'un TGV lancé à 150 km/h
- suffirait à faire fondre 500kg de cuivre

Collisions au LHC en 2012



Production du boson de Higgs:
phénomène très rare !!

Taux de production $H \rightarrow \gamma\gamma$:
1 / 2,500,000,000,000

Proton – Proton 1308 + 1308 paquets

Prottons par paquet: $\sim 10^{11}$

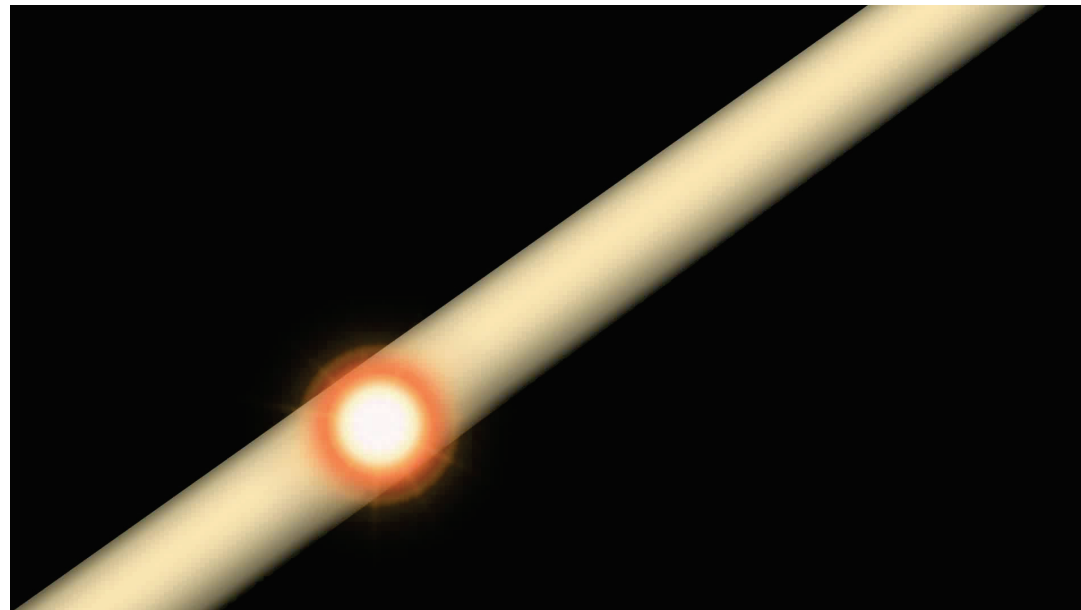
Energie des faisceaux: 4 + 4 TeV

Croisements de paquets: environ
15 millions de fois par seconde !

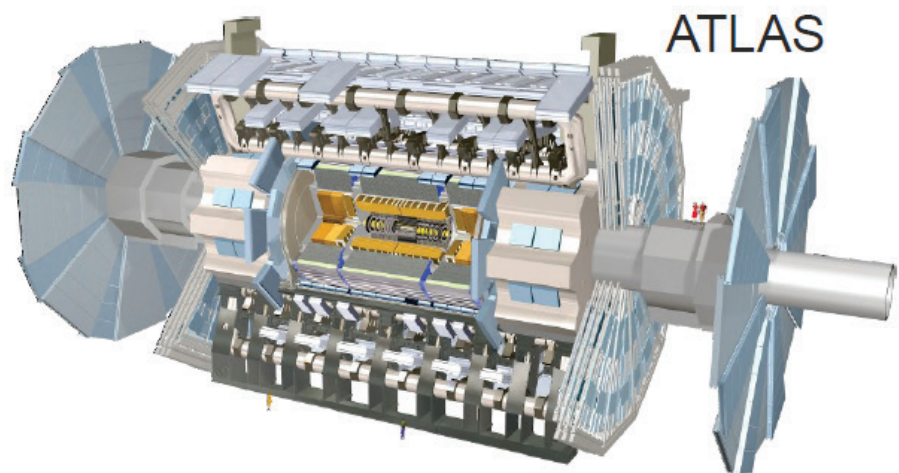
Collisions de prottons: environ
600 millions par seconde !!

Comment observe-t-on de nouvelles particules ?

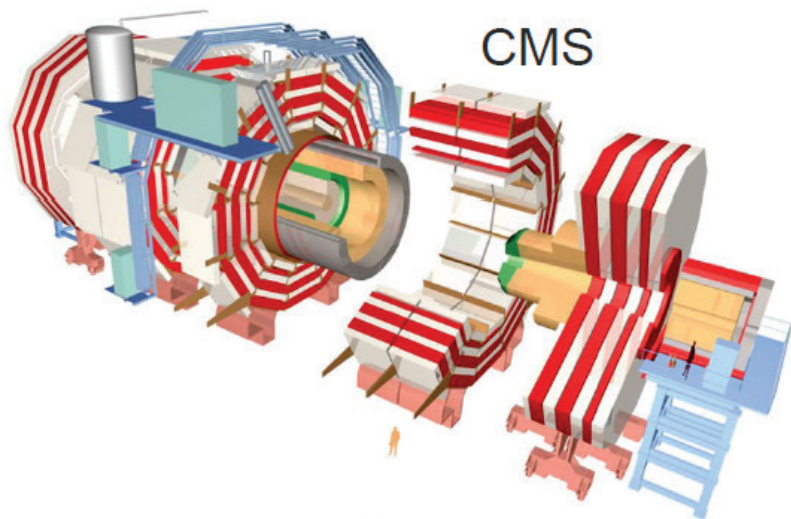
- Les particules produites dans les accélérateurs vivent en général très peu de temps: elles se désintègrent presque immédiatement en particules de matière ordinaire (~ stables).
- Ainsi, on ne verra donc pas directement le boson de Higgs !!
- Par contre en mesurant très précisément ses produits de désintégration on peut vérifier qu'ils viennent de la désintégration d'un boson de Higgs. Mais beaucoup d'autres phénomènes peuvent jouer les imposteurs !



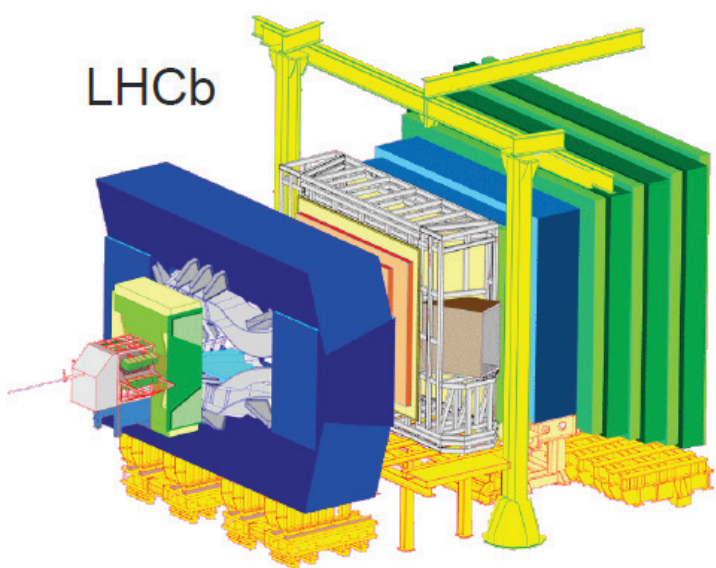
Des “caméras” géantes



ATLAS

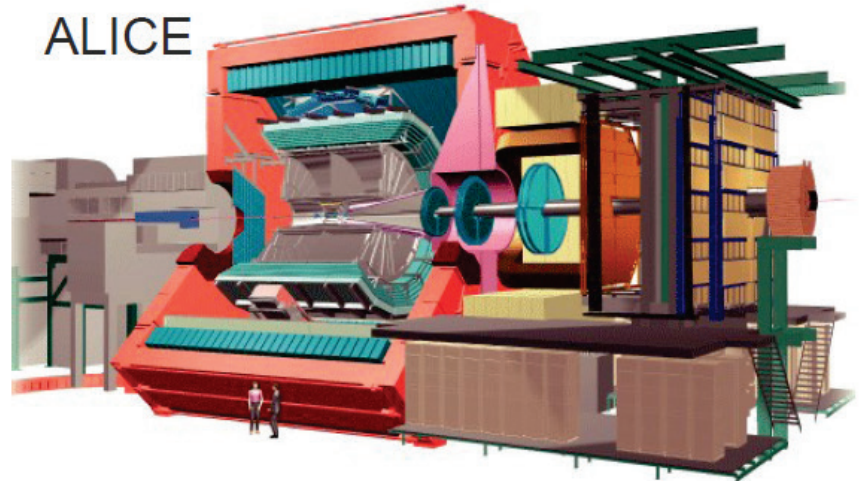


CMS



LHCb

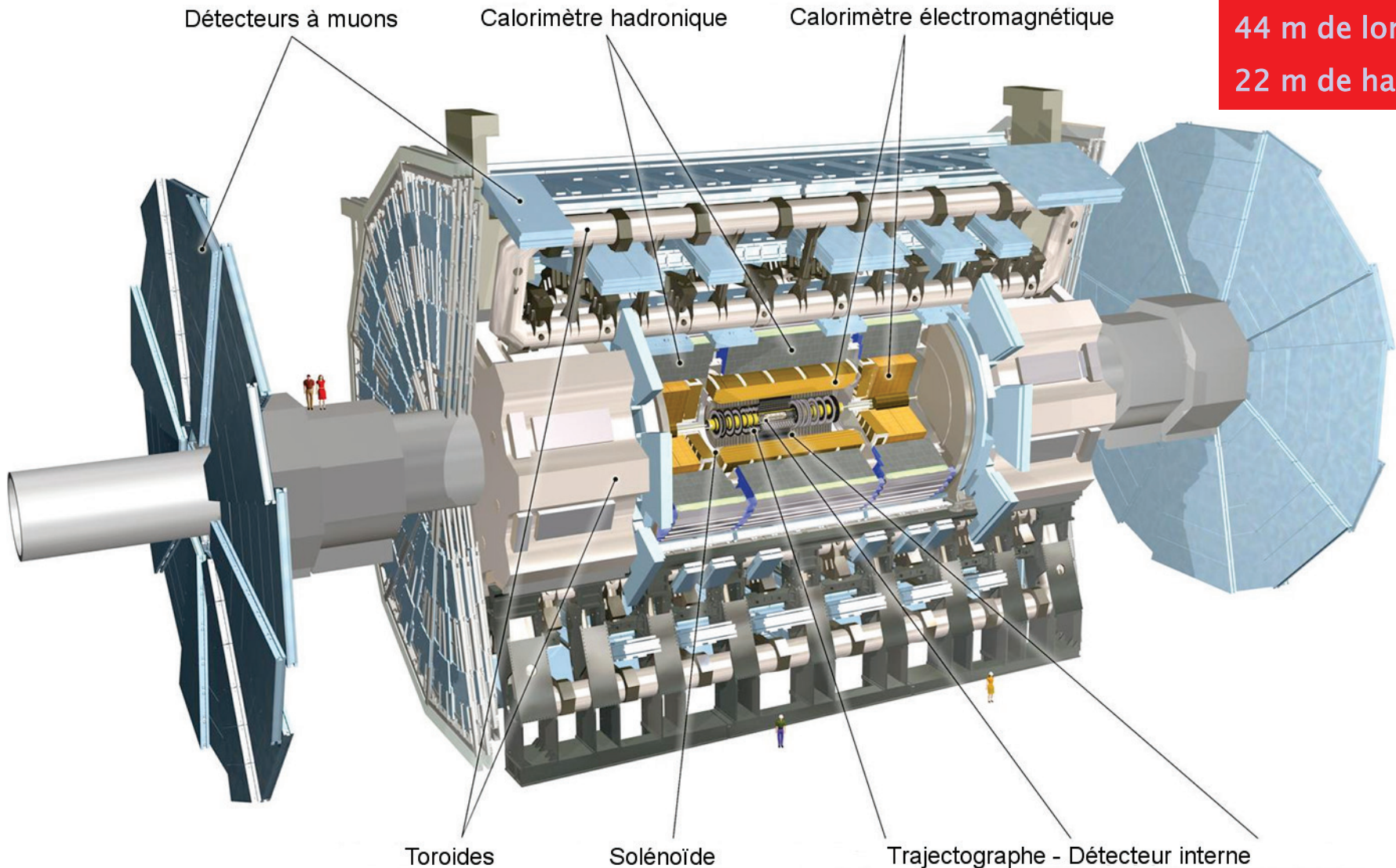
ALICE



Au cœur d'ATLAS

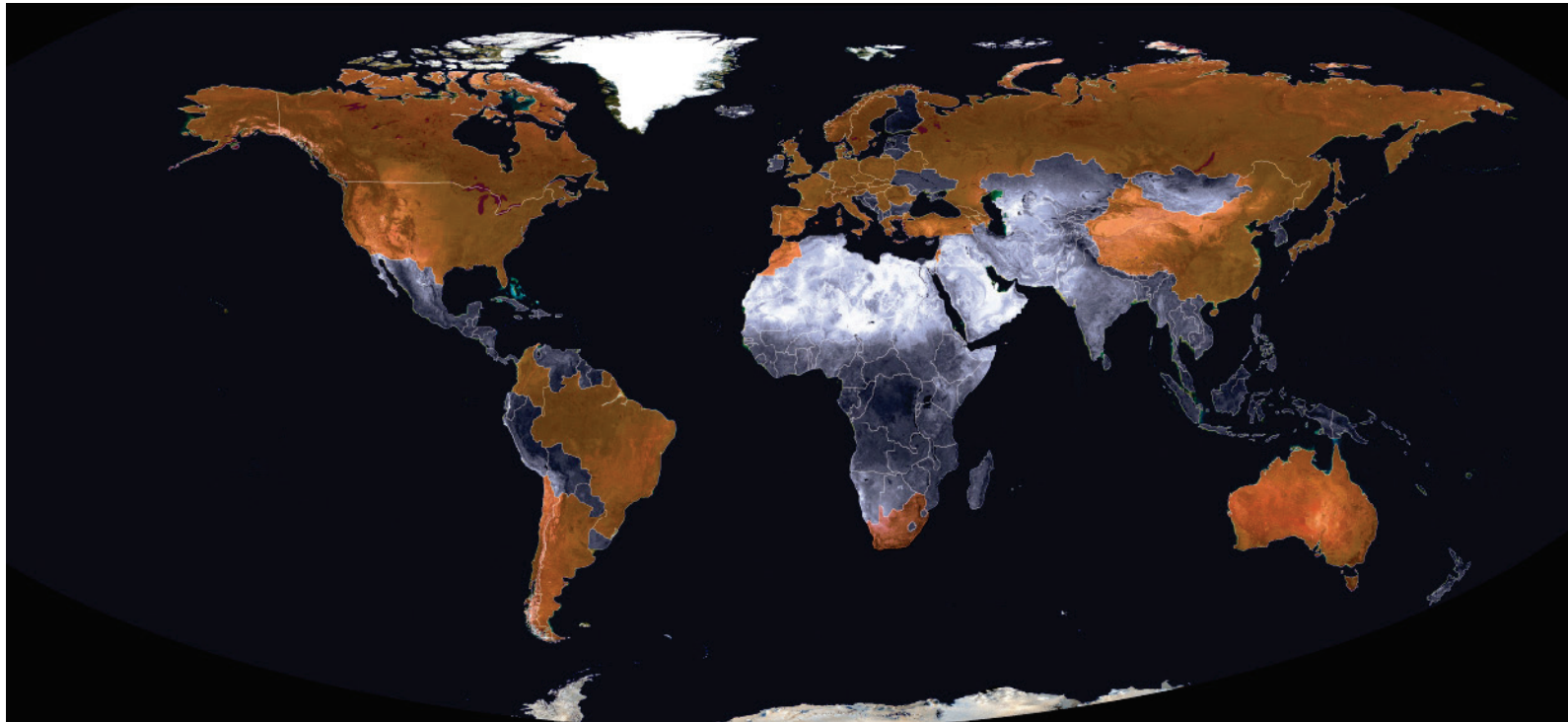


ATLAS, un détecteur géant



7000 tonnes
44 m de long
22 m de haut

ATLAS, une collaboration mondiale



38 pays: Europe, Amérique du Nord, Russie, Chine, Japon,...

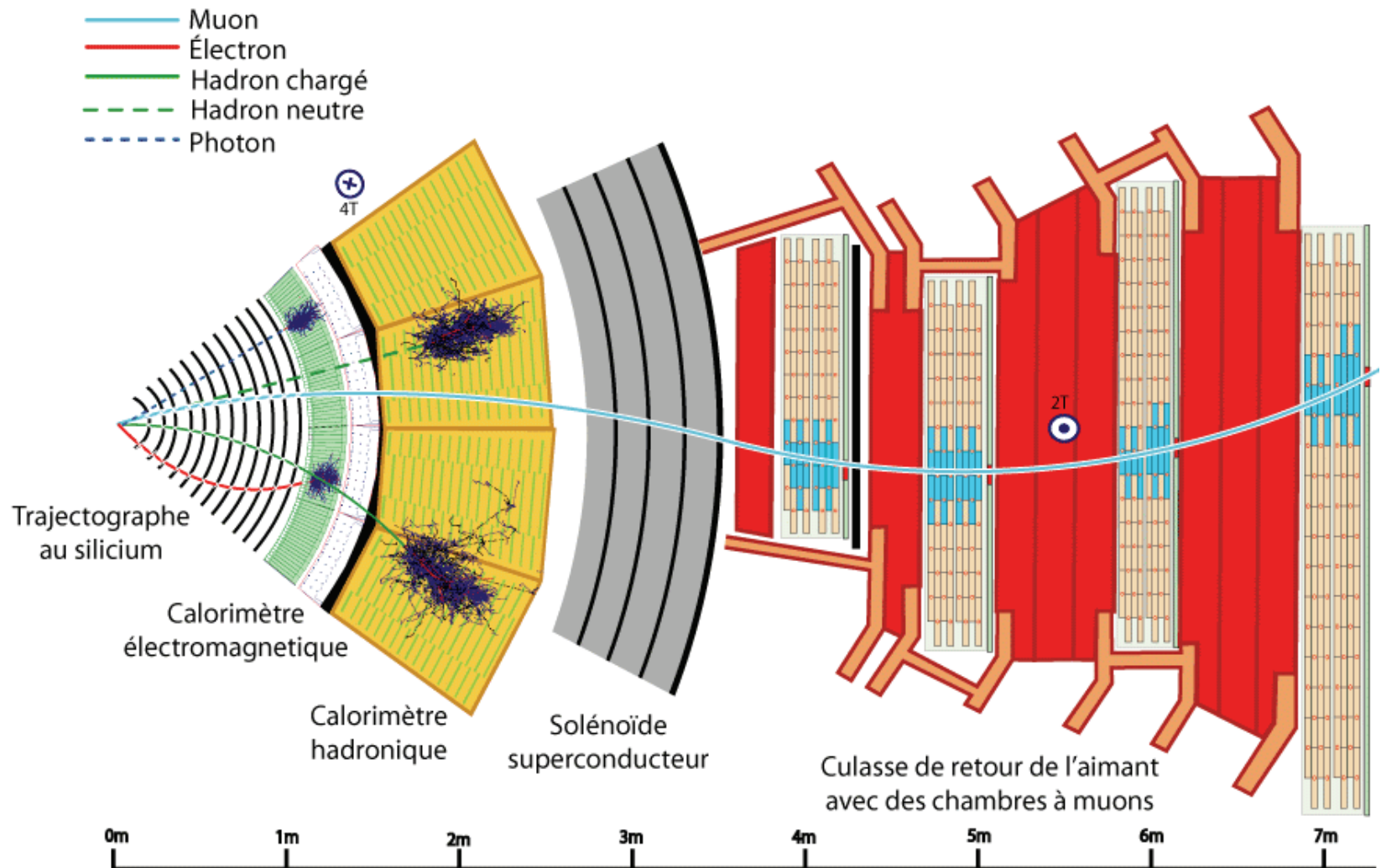
174 universités et laboratoires

Environ 3000 physiciens (dont 1000 étudiants) !

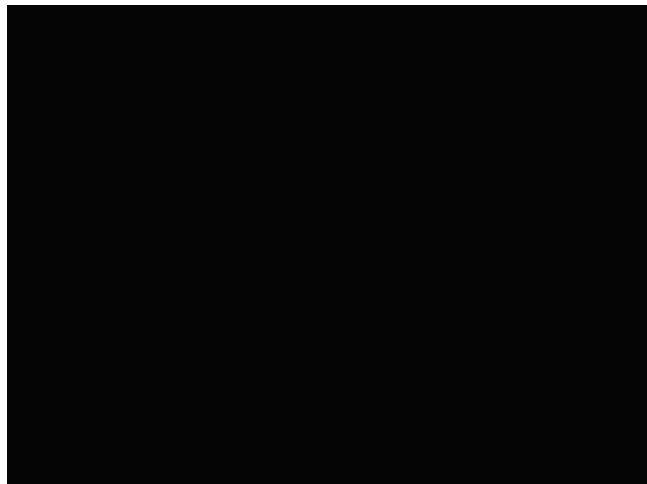
Contribution française: 6 laboratoires CNRS/IN2P3/Universités,
et 1 laboratoire CEA

➔ environ 400 personnes (physiciens, ingénieurs, étudiants)

Les éléments d'un détecteur



Identifier et mesurer les particules



Cryostat et détecteur à muons

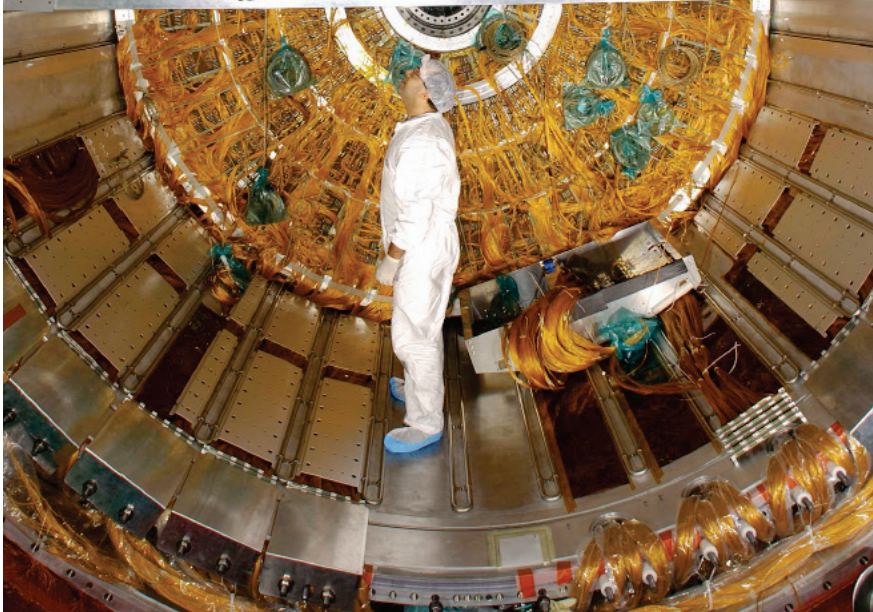


ATLAS: contributions du CPPM à la conception & construction

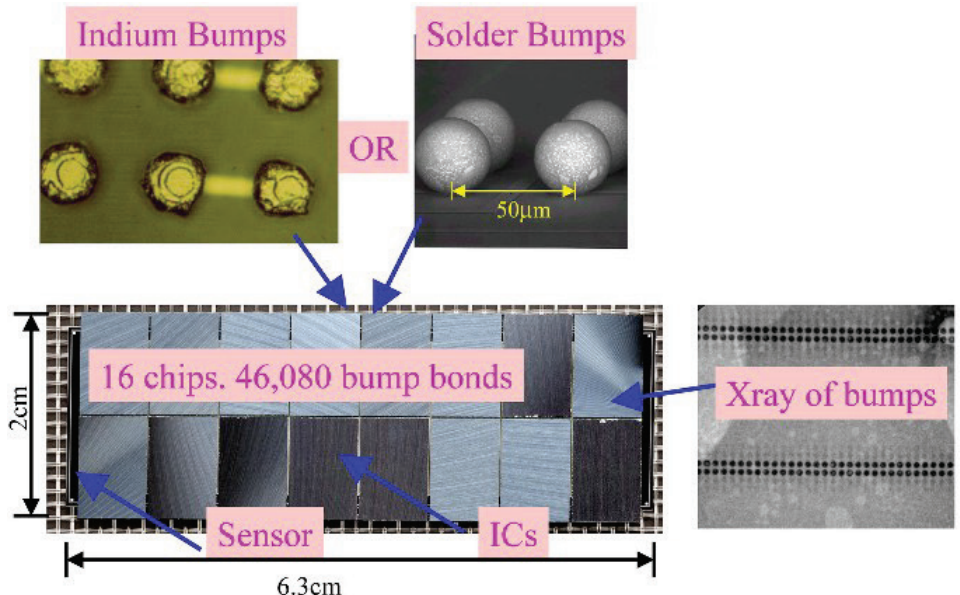
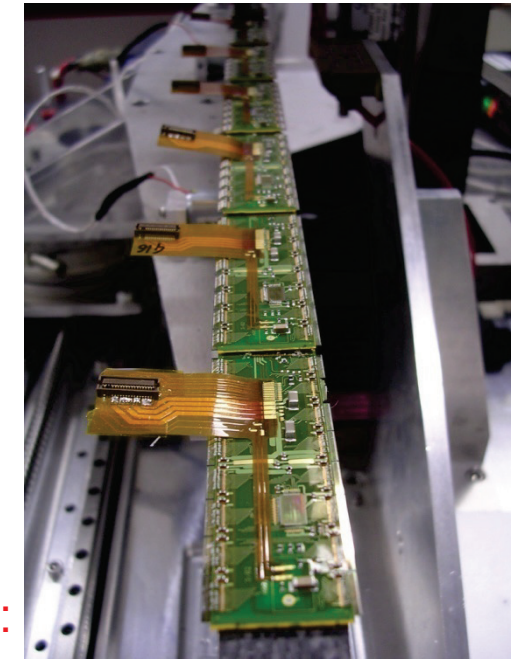


Calorimètre à argon liquide

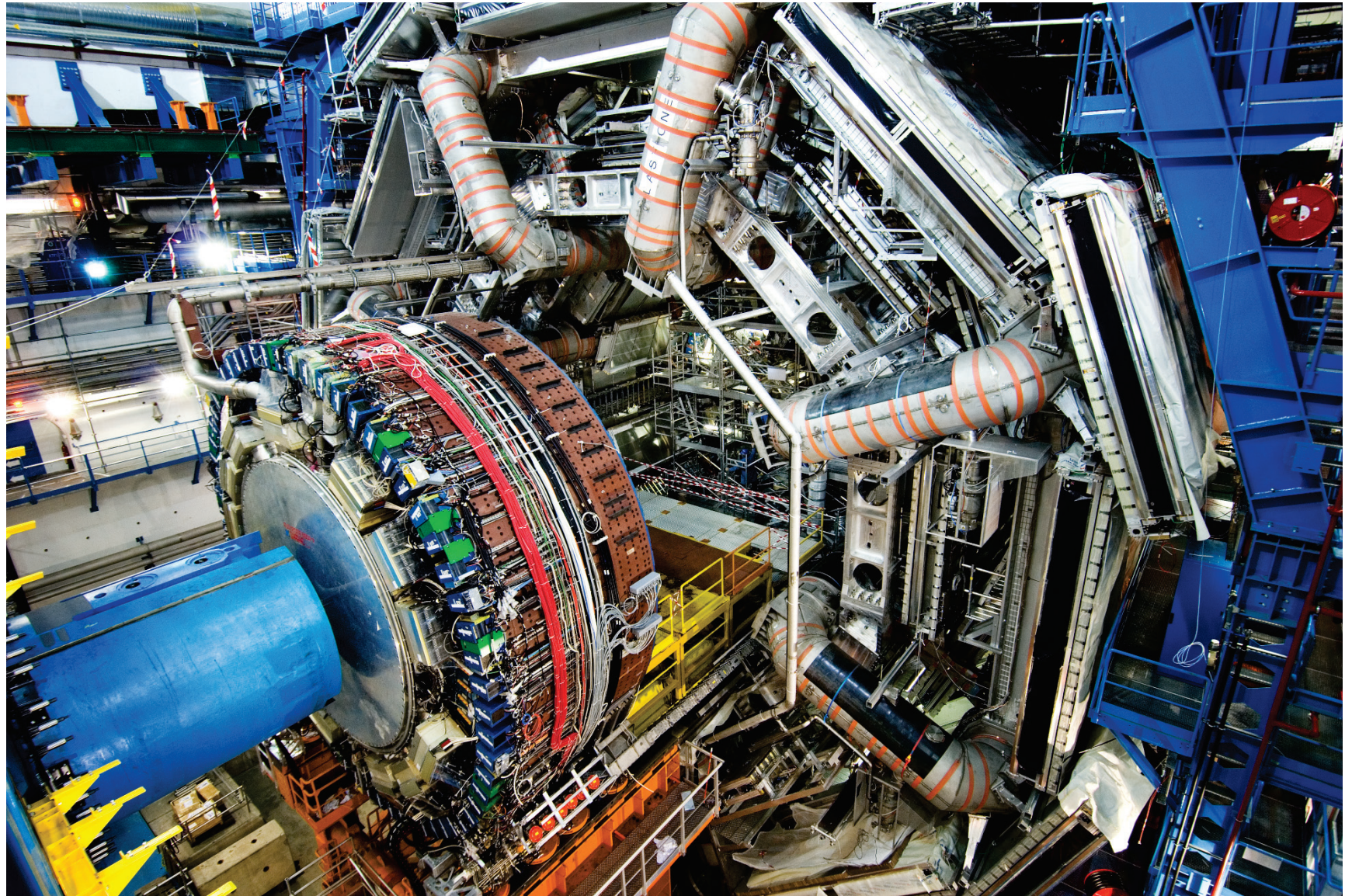
Système de déclenchement
(non-illustré)



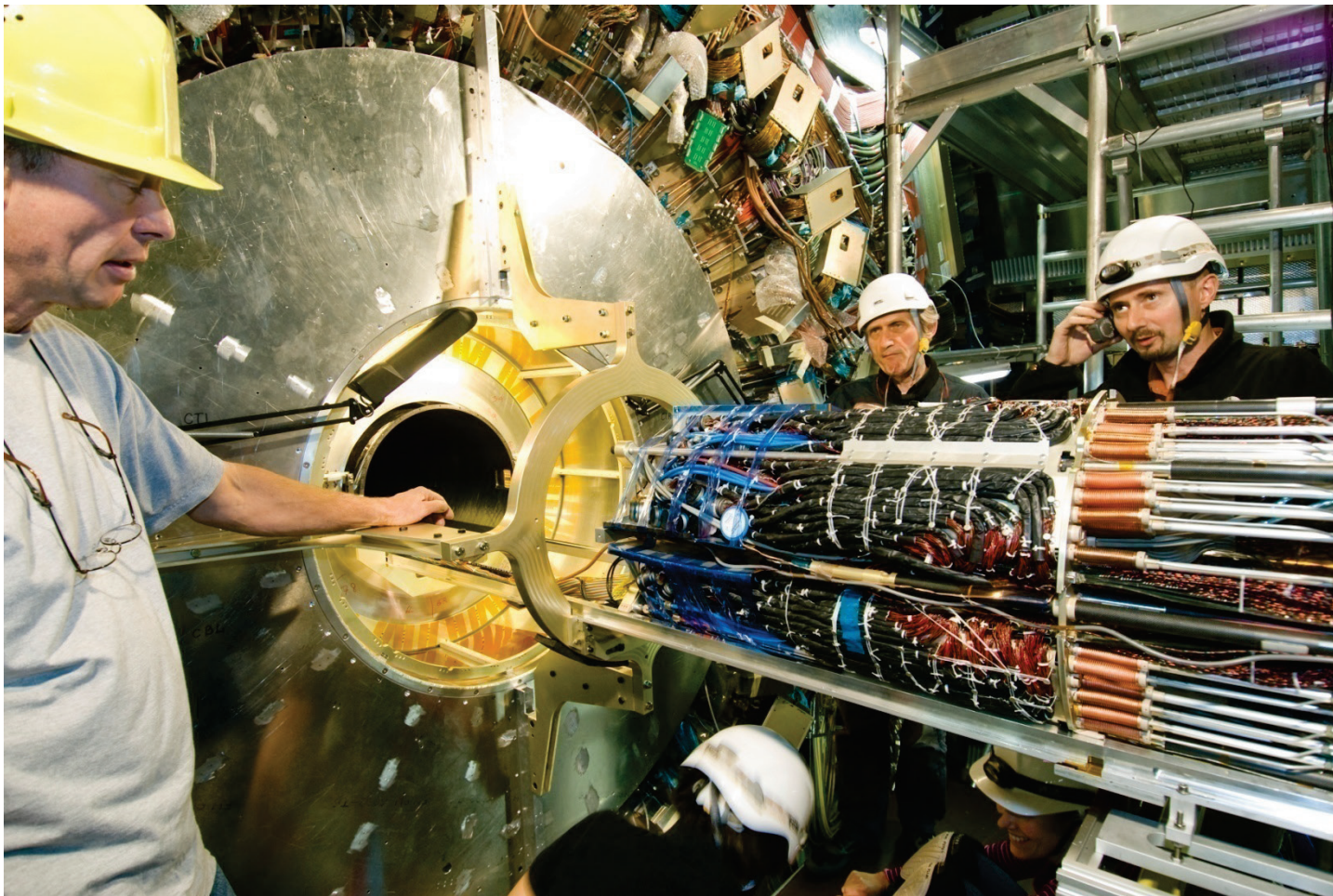
Détecteurs à pixels:



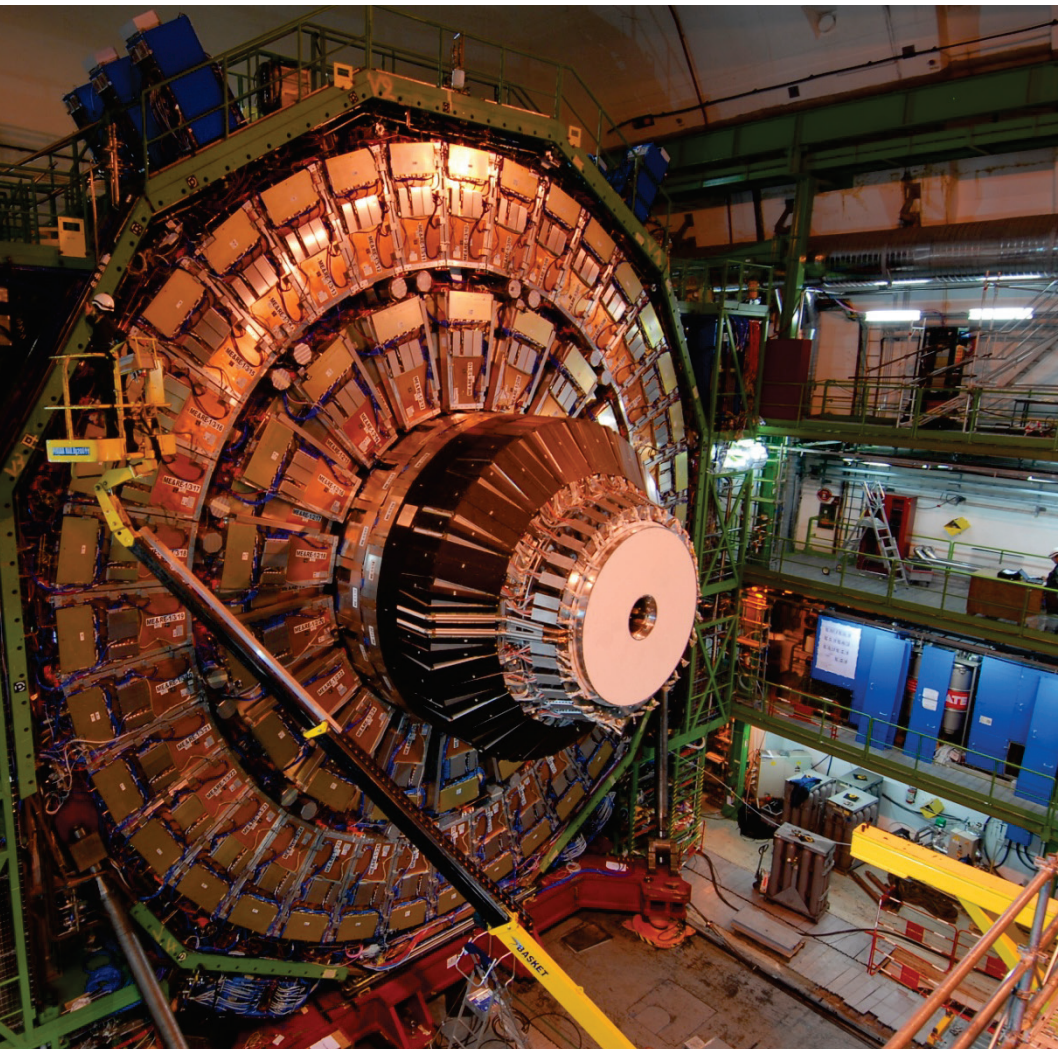
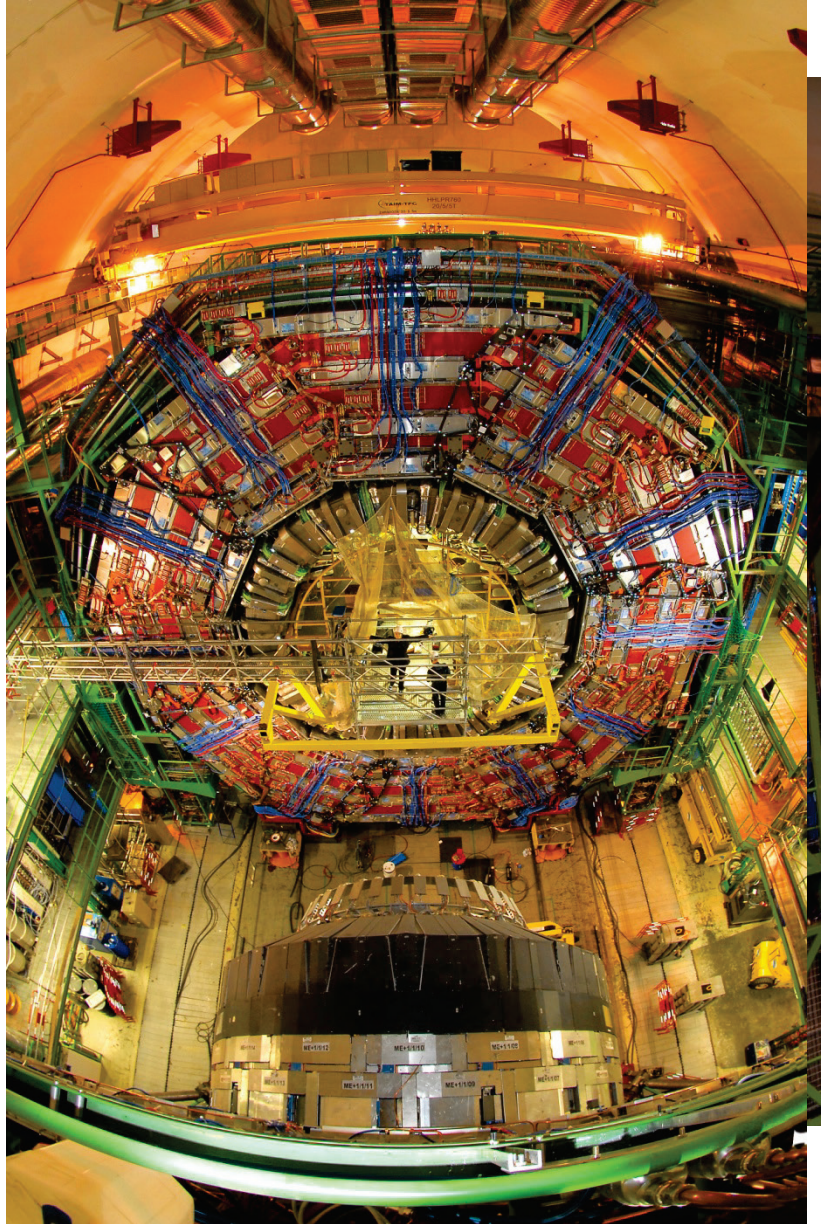
Extremité ouverte d'ATLAS



Insertion des pixels



De l'autre côté de l'anneau...: CMS



20 novembre 2009: derniers préparatifs pour le redémarrage du LHC...

Salle de contrôle du LHC



Salle de contrôle d'ATLAS:
Fabiola Gianotti, porte-parole de l'expérience ATLAS

20 novembre 2009: un premier faisceau de protons arrive dans ATLAS



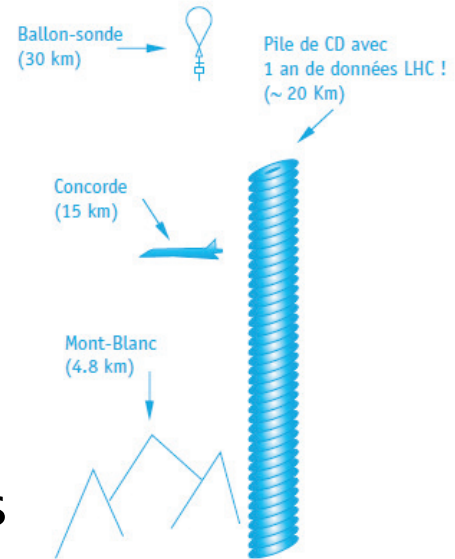
Le défi des données d'ATLAS

- **Une avalanche de données:**

- 7 DVD par minute
 - 20 Po par an !

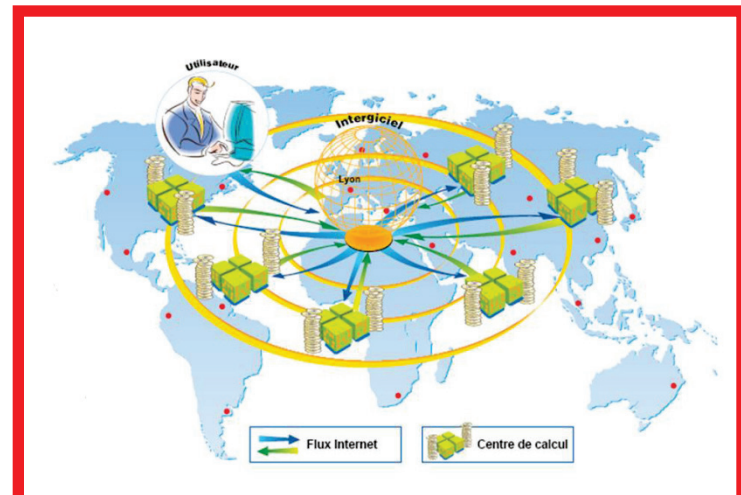
- **La solution: la grille de calcul**

- mettre en réseau des millions d'ordinateurs dans le monde qui se partagent le travail d'analyse des données

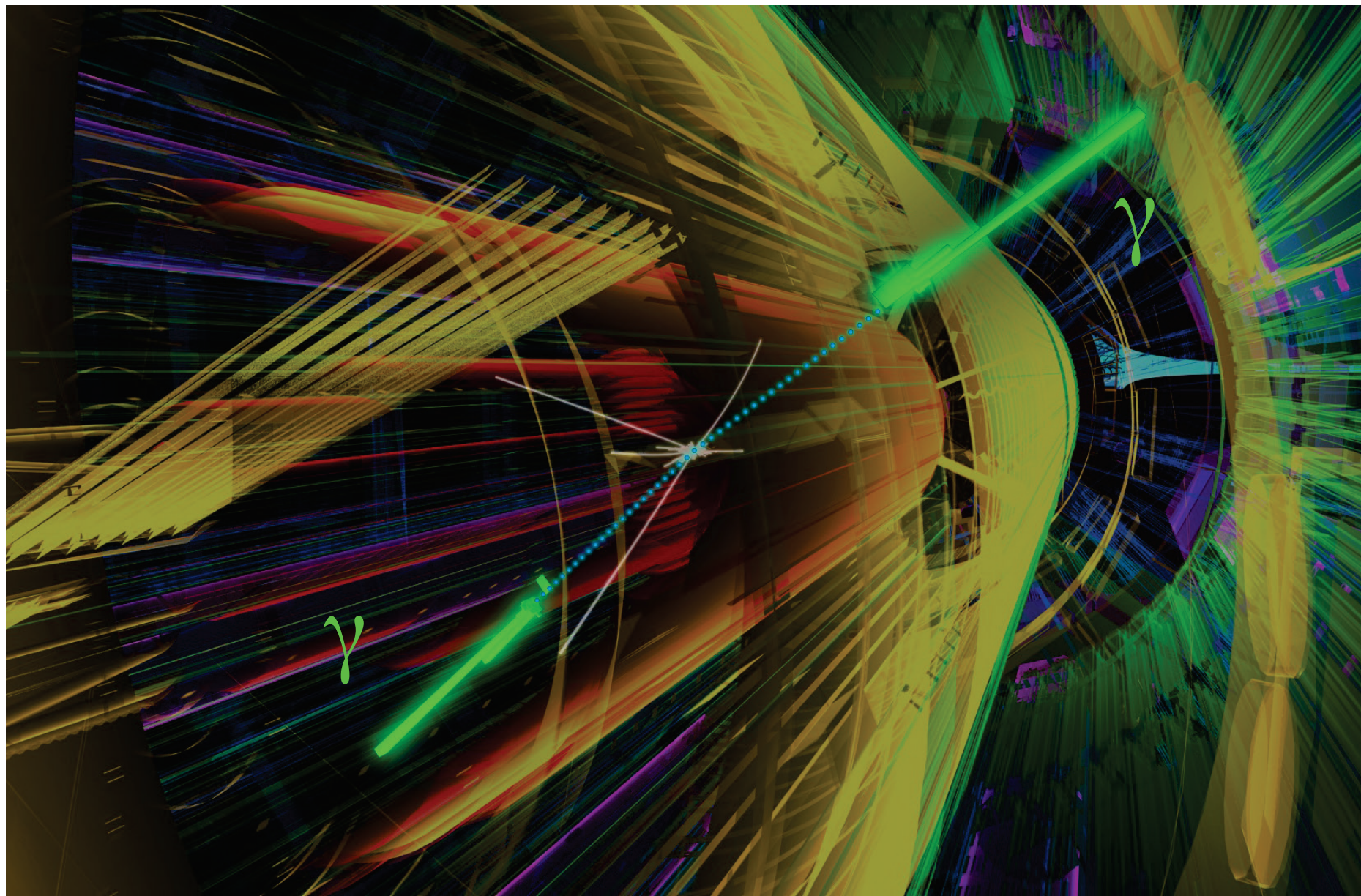


- **Après l'invention du World-Wide-Web, le CERN a développé la grille**

- permet aux physiciens d'analyser les données pour trouver des candidats H par exemple....



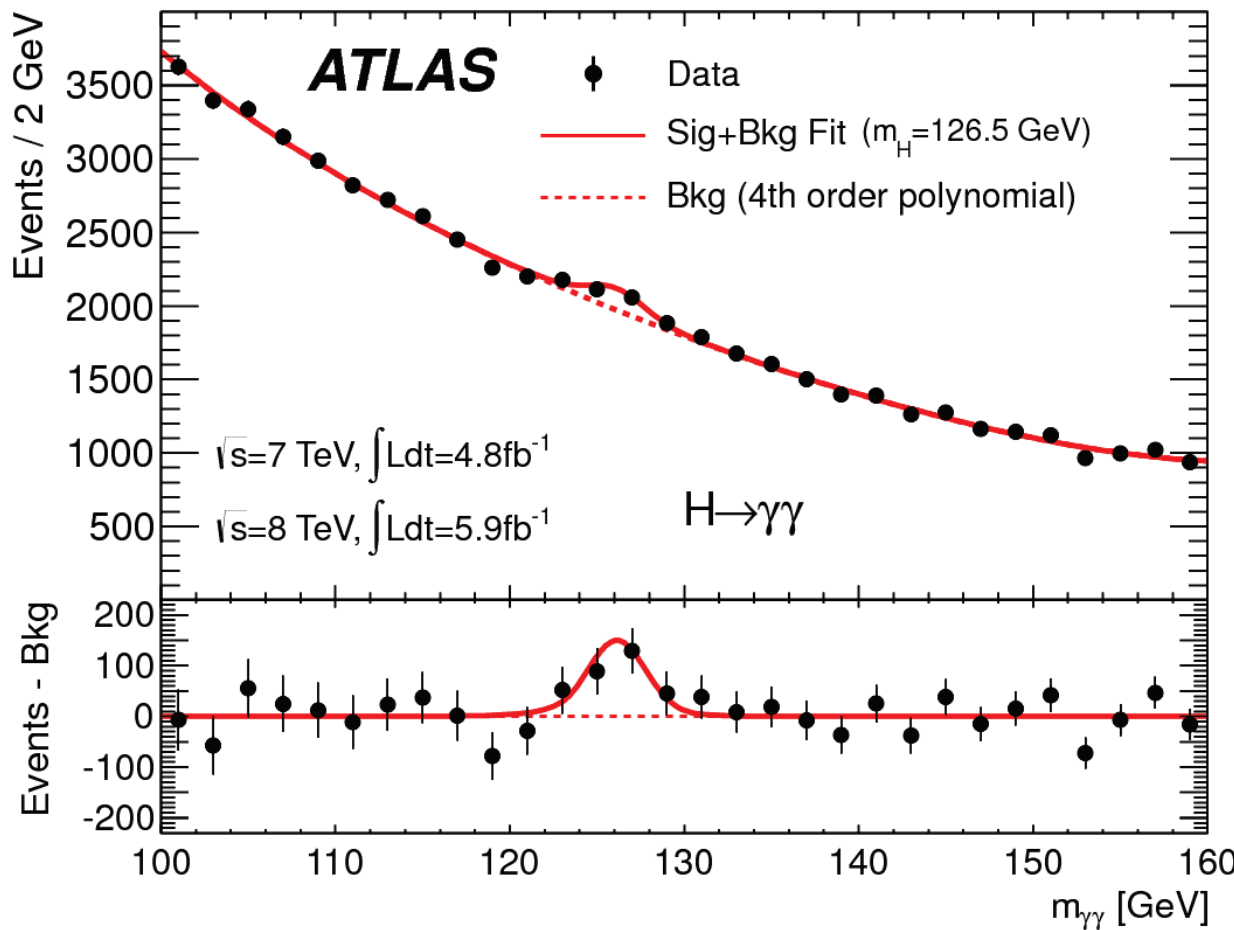
Candidat $H \rightarrow \gamma\gamma$



Excès dans le canal $H \rightarrow \gamma\gamma$

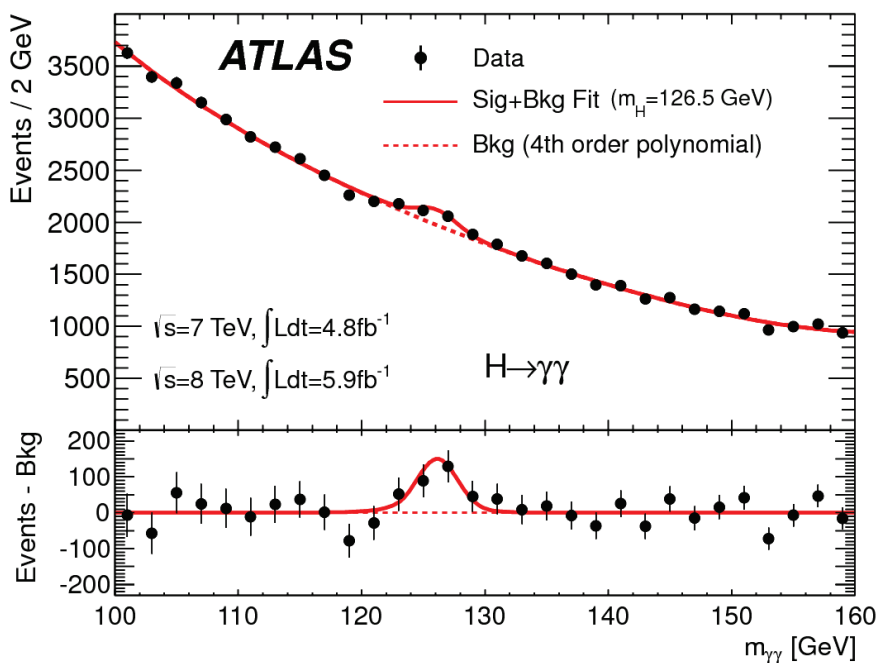
$$m_{\gamma\gamma} = \sqrt{2E_1E_2(1-\cos\theta)}$$

juillet 2012

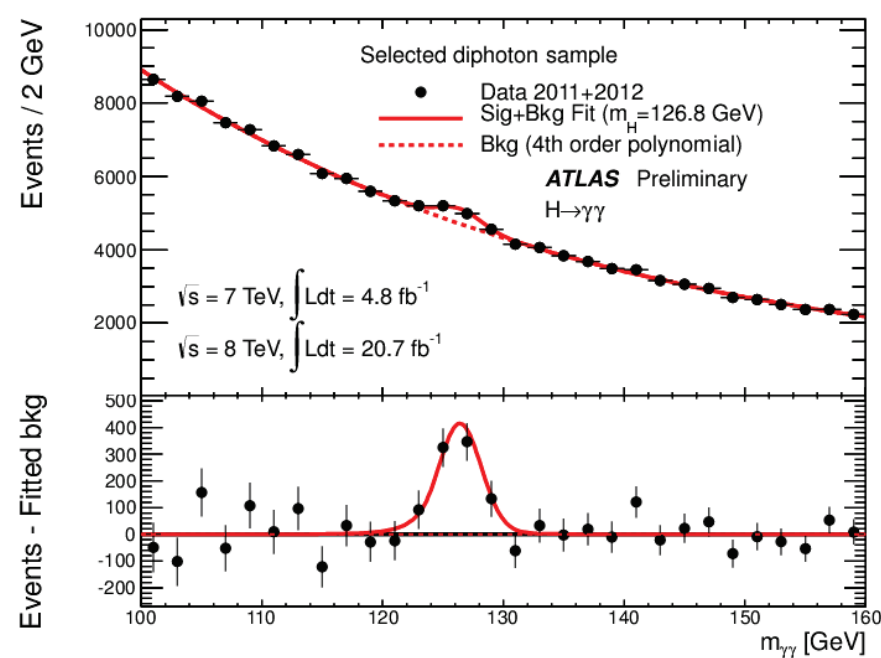


Excès dans le canal $H \rightarrow \gamma\gamma$

4 juillet 2012

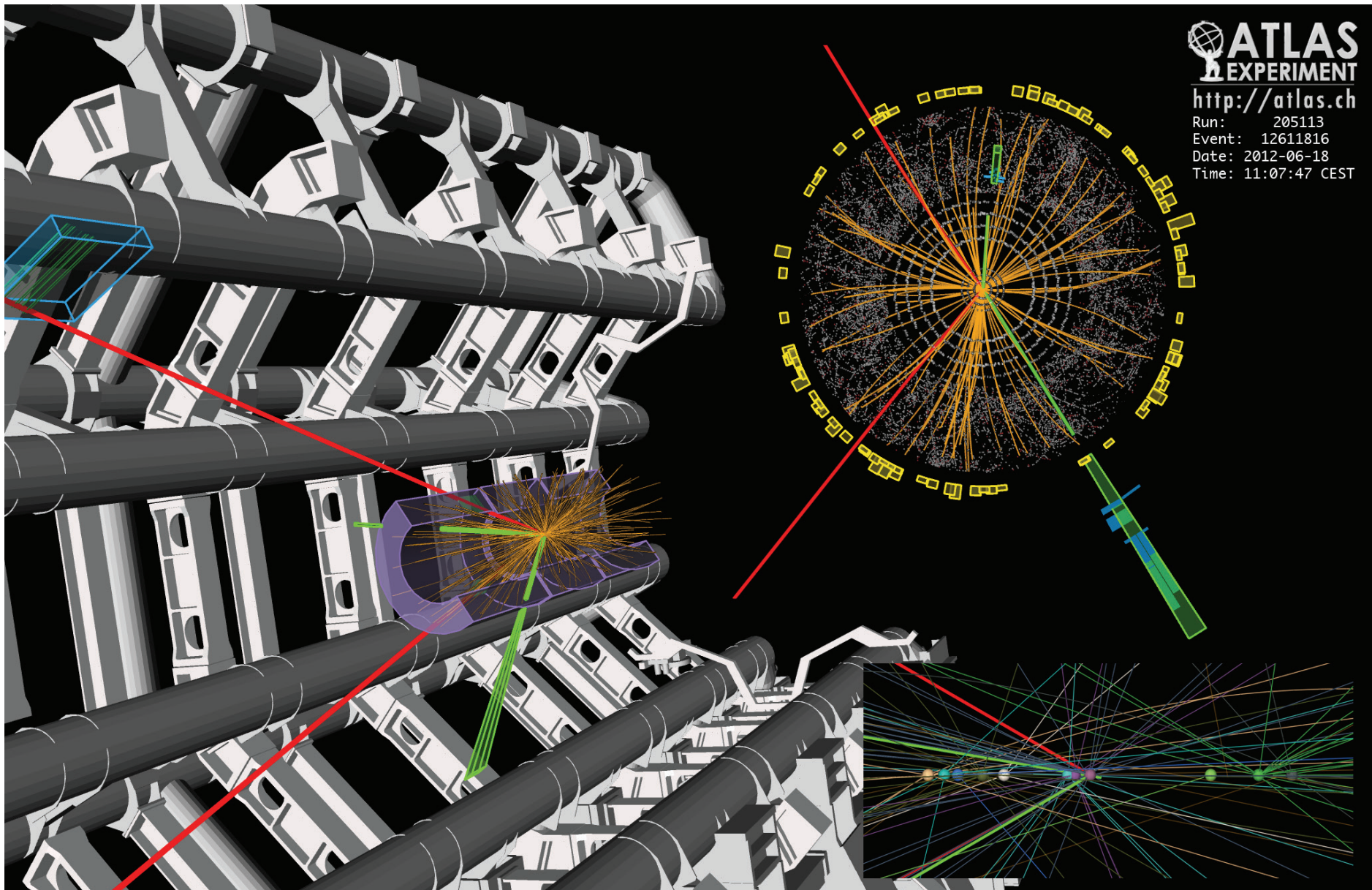


6 mars 2013

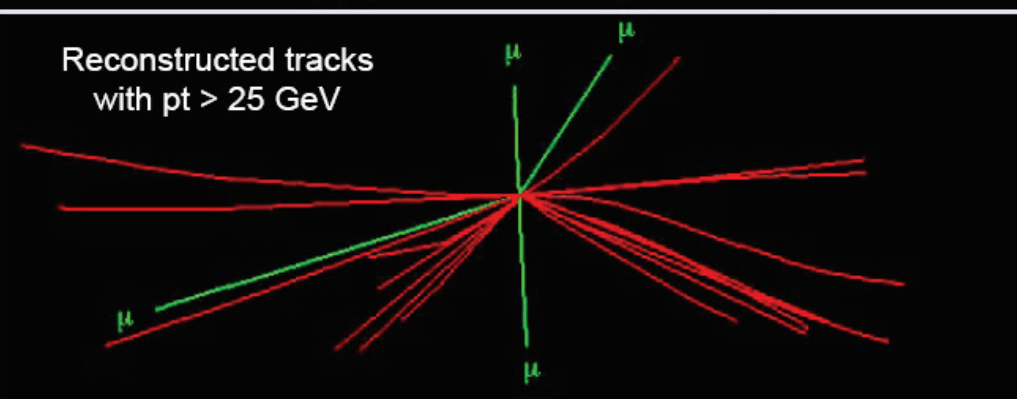
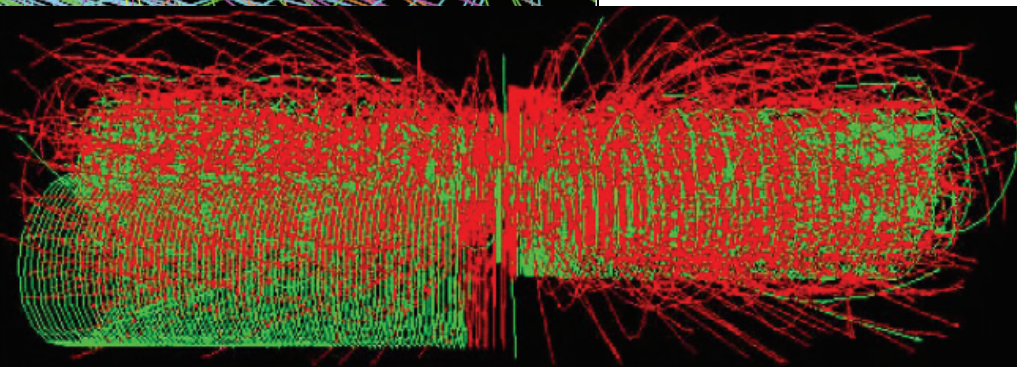
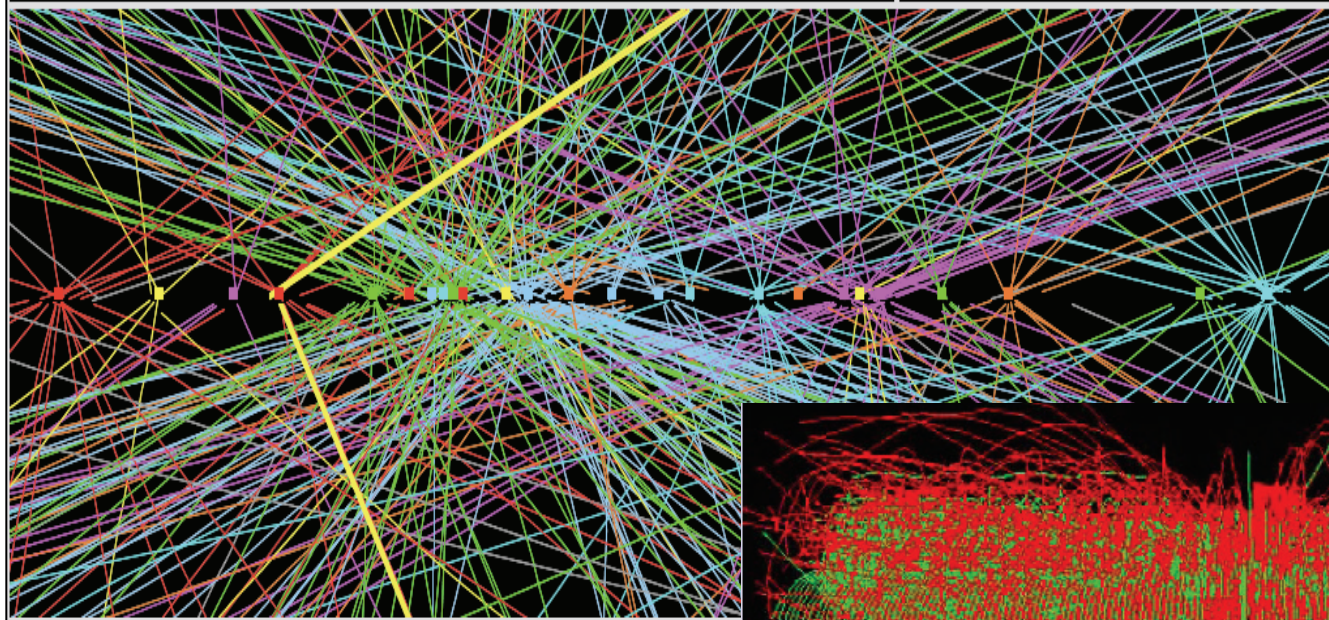


Candidat $H \rightarrow ZZ^* \rightarrow ee\mu\mu$

 **ATLAS**
EXPERIMENT
<http://atlas.ch>
Run: 205113
Event: 12611816
Date: 2012-06-18
Time: 11:07:47 CEST

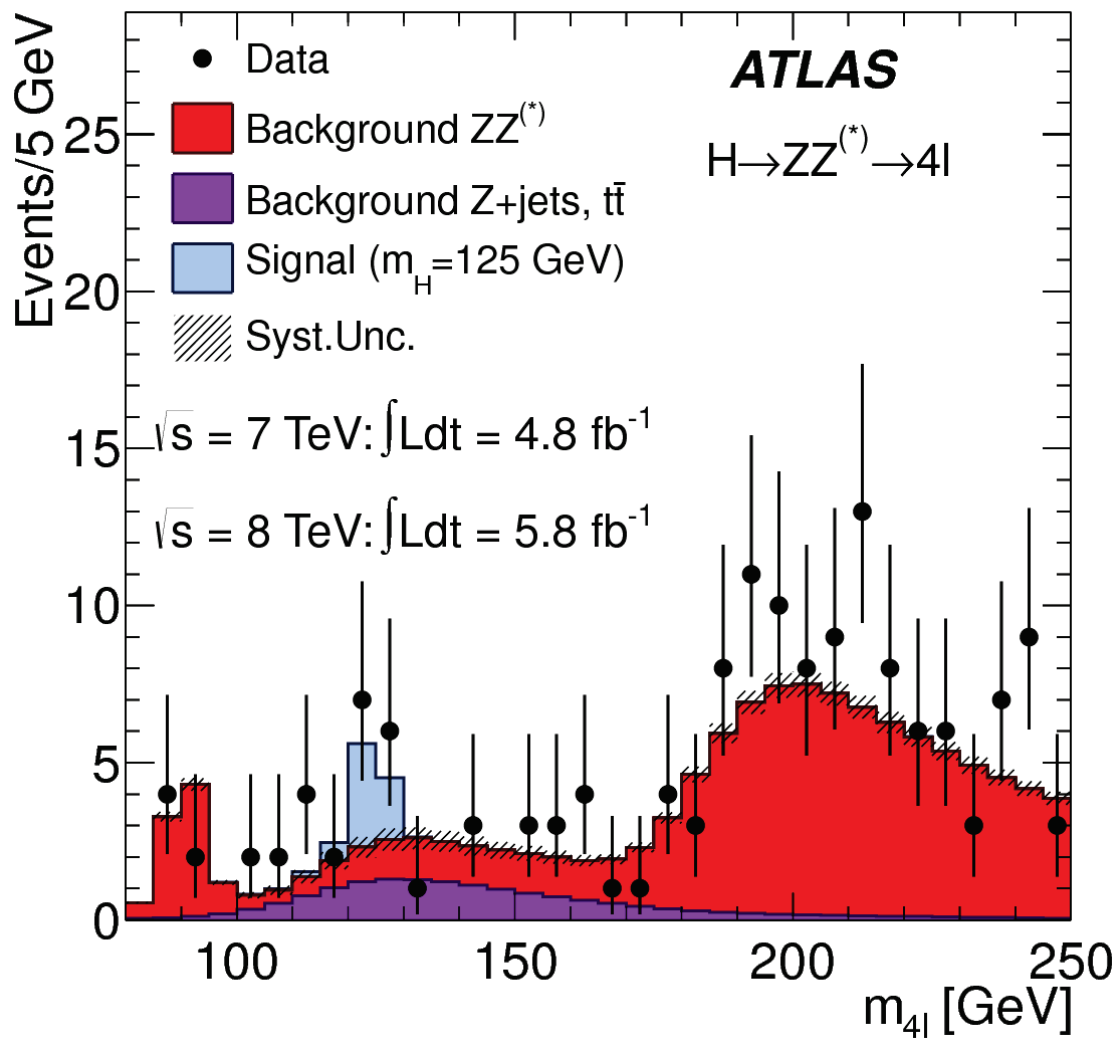


En fait c'est un peu moins net...



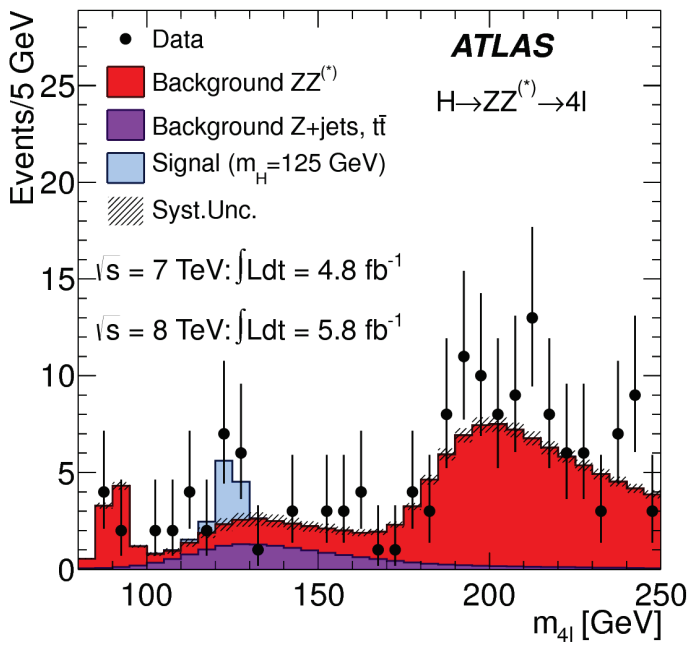
Excès dans le canal ZZ* \rightarrow 4l

juillet 2012

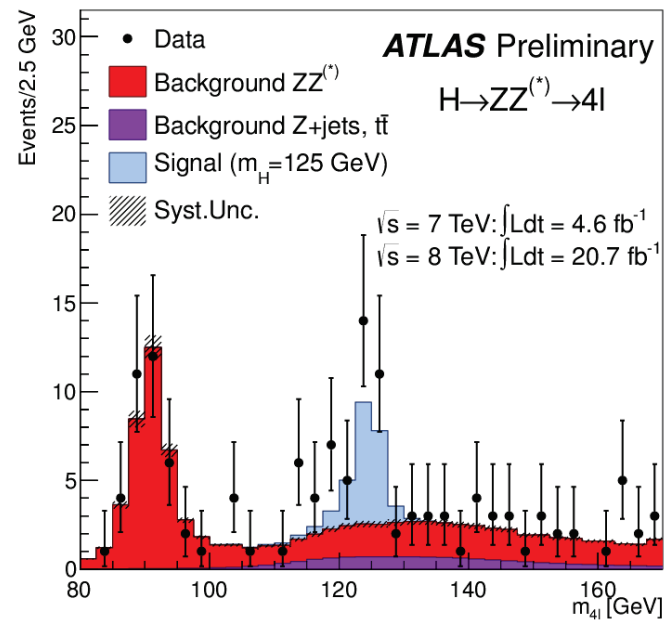


Excès dans le canal $ZZ^{(*)} \rightarrow 4l$

4 juillet 2012

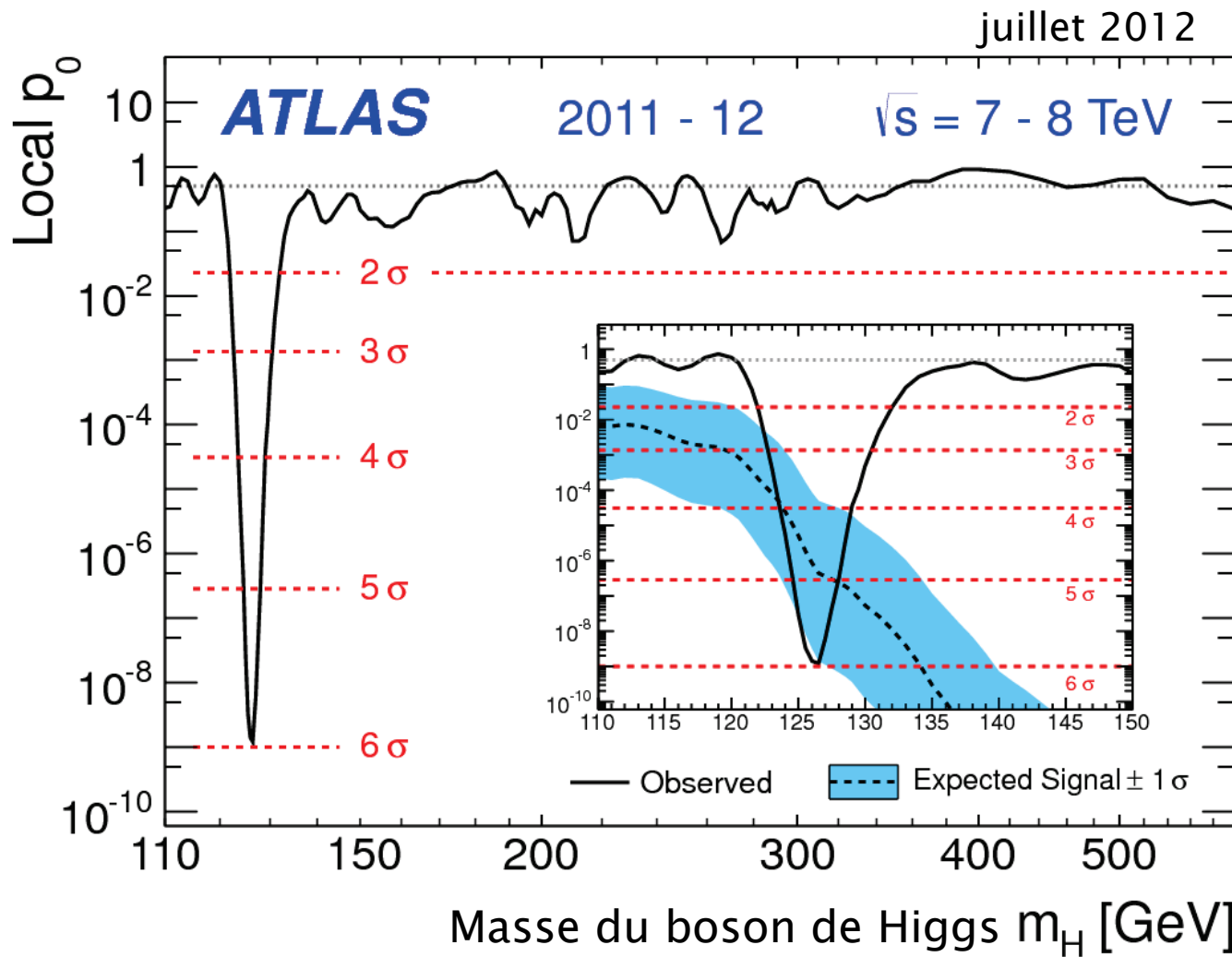


6 mars 2013



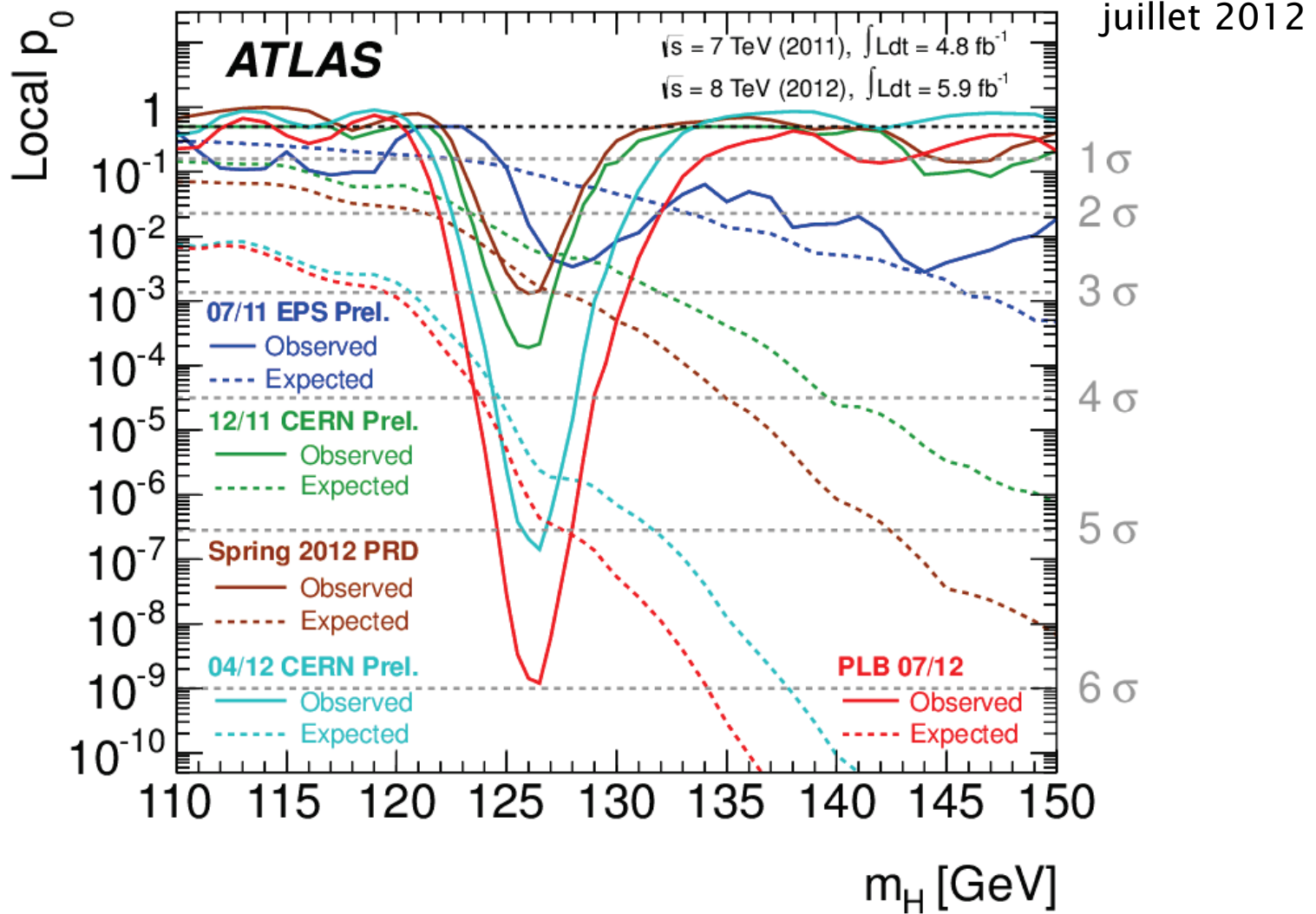
Pertinence statistique

Probabilité de fluctuation du bruit de fond



mars 2013: 7σ pour $H \rightarrow \gamma\gamma$ seul, 6σ pour $H \rightarrow 4l$ seul

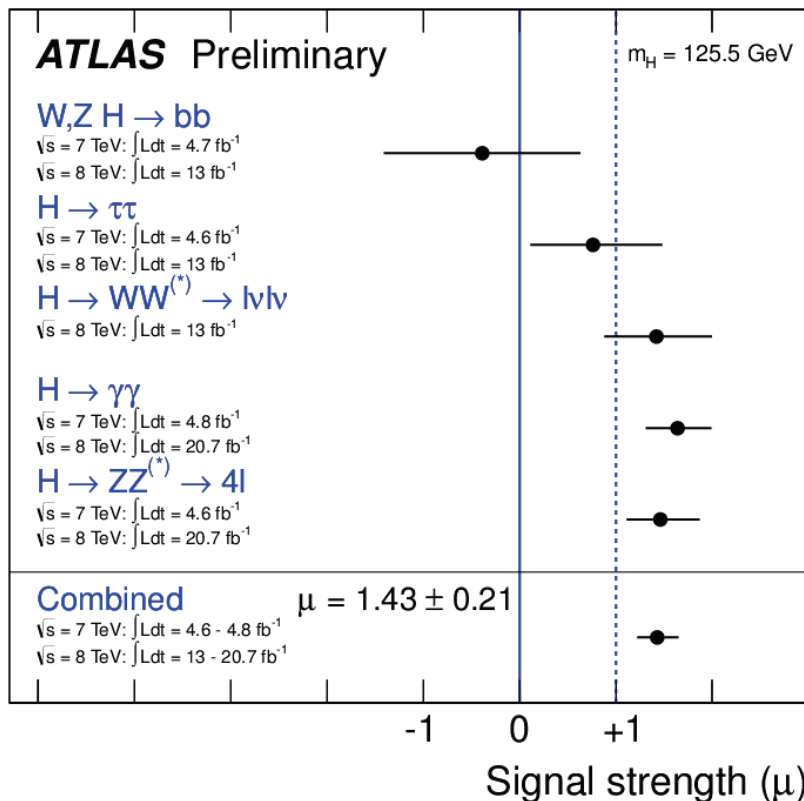
Evolution de p_0 dans le temps



Résultats similaires observés par CMS !!!

Est-ce bien le boson de Higgs du MS ?

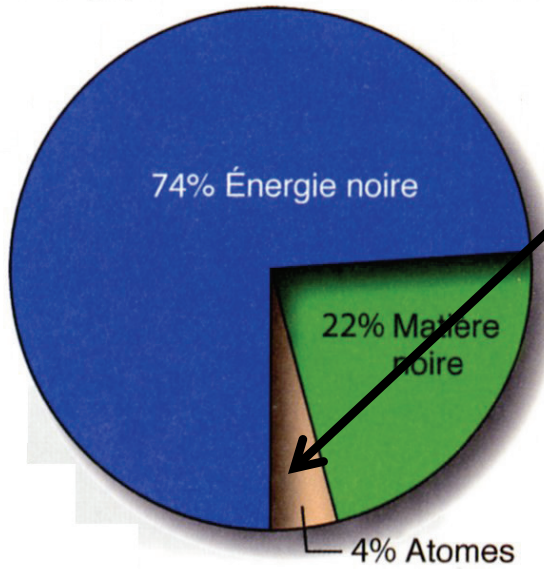
Le boson se désintègre de différentes façons, dans le cadre du MS on peut calculer la probabilité d'occurrence de chacun des modes
→ il faut vérifier que notre boson est compatible avec le calcul



- Quelles sont ses autres propriétés ?
- Y a t-il d'autres bosons de Higgs ?
- Ce boson est-il vraiment une particule élémentaire ?
- Sa masse est-elle compatible avec un état stable du champ de Higgs ?

→ études en cours avec les données, mais plus de données nécessaires encore pour la plupart des questions !

De la place pour l'inconnu ?



Ce dont je viens de vous parler !!!

Pourra t-on observer au LHC des particules de matière noire comme celles prédictes par la supersymétrie ?

Asymétrie matière/antimatière ?

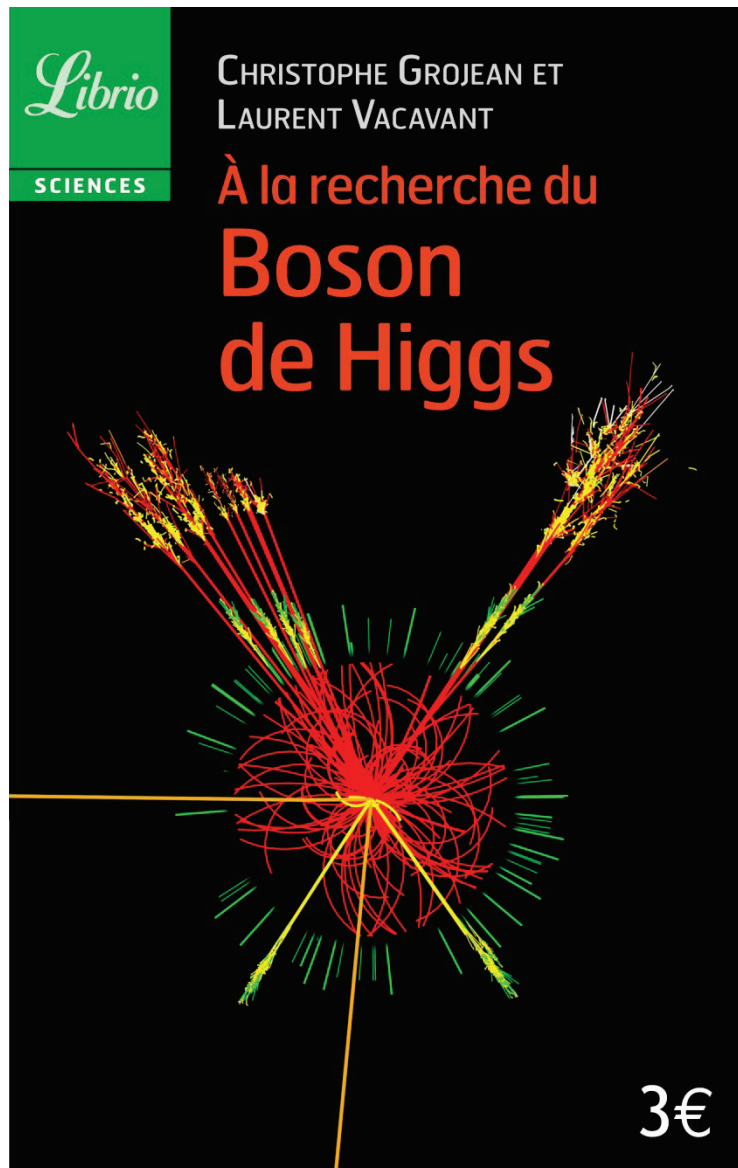
Unification ?

Surprises ?!

Le LHC est arrêté depuis le 14 février 2013 pour ~2 ans de travaux.
Il redémarrera à une énergie de ~14 TeV, a priori jusqu'en 2030...
Patience...!

En attendant nous analysons nos 10 Po de données (300 M de DVD)
Déjà des réflexions bien avancées pour une future machine... ☺

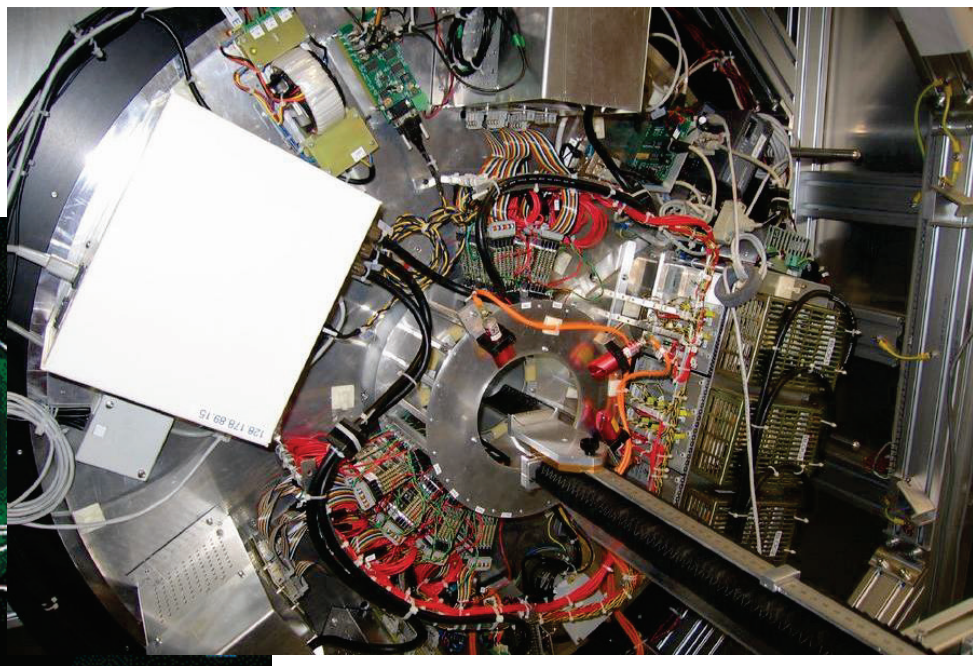
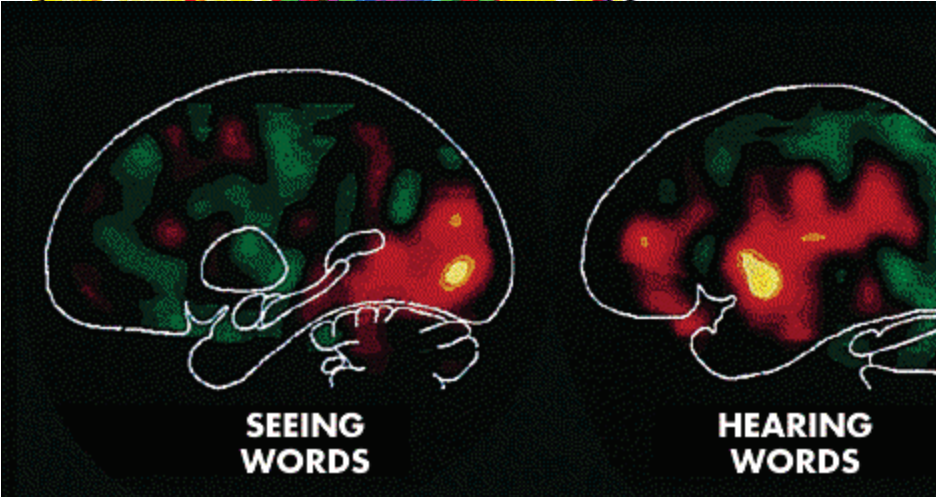
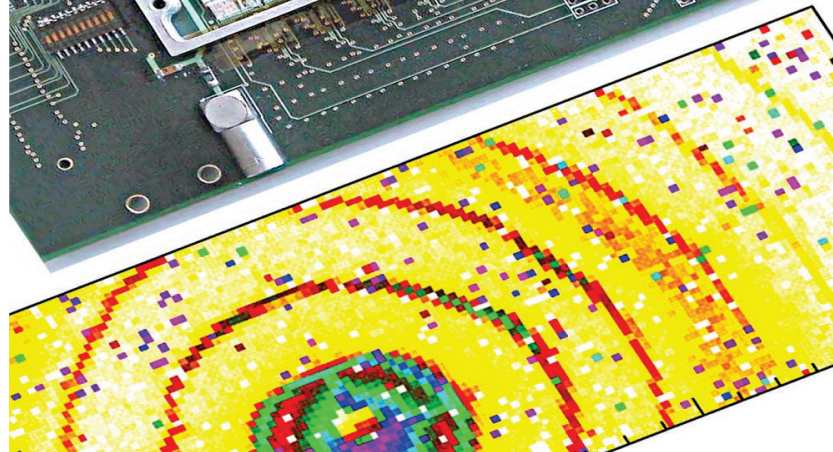
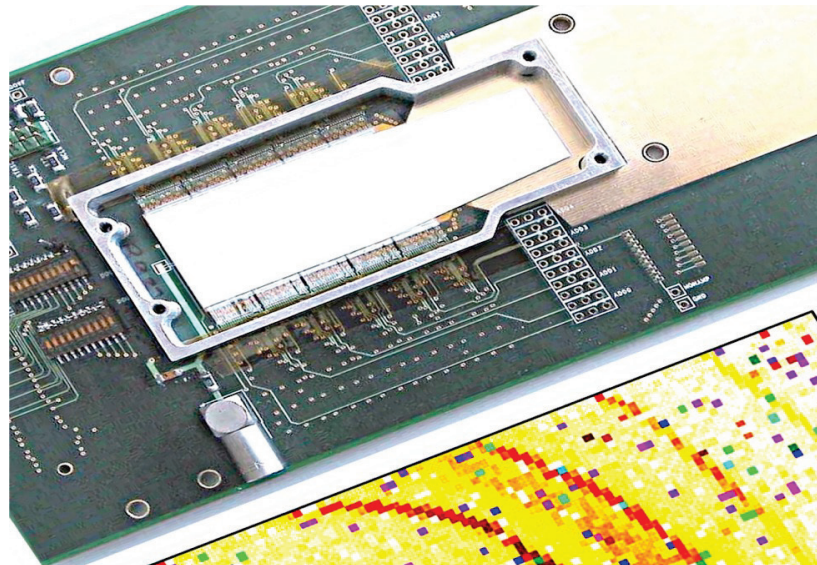
Plus d'information...



Le 10 avril en librairie !

FIN

Pixels et imagerie médicale au CPPM



Coût du LHC

- Coût du LHC: ~3 milliards d'euros, financés sur le budget CERN (i.e. répartis sur ≥ 20 pays et sur 15 ans)
- Budget du CERN: 800 M€ / an
- Fraction payée par la France: 15%
- Retour sur investissement en France: $\sim \times 3$

Une machine à remonter le temps ?!

LHC
↓

Crédit: CERN

Évolution de l'Univers

13,7 milliards d'années



Aujourd'hui,
au CERN,
nous remontons
le temps pour
étudier les
origines de la
matière

10 milliards d'années



Vie sur la Terre

Une soupe
de molécules
organiques apparaît
sur la Terre, une
petite planète bleue
perdue dans
l'immensité de
l'Univers

9,2 milliards d'années



Système solaire

La gravité
rassemble les
débris d'étoiles
pour constituer
les planètes

200 millions d'années



Étoiles
et galaxies

La gravité
rassemble des
nuages
d'atomes pour
constituer les
étoiles

Les atomes lourds,
éléments de base de la
vie, sont synthétisés
dans le cœur des
étoiles

380 000 ans



Atomes légers

Les électrons se
lient aux
noyaux atomiques
pour former
les atomes
d'hydrogène et
d'hélium

Les photons
n'interagissent plus
avec les électrons:
l'Univers devient
transparent et
s'illumine

3 minutes



Noyaux légers

Les protons
et les neutrons se
lient pour former
les noyaux
atomiques

Les photons sont
continuellement
absorbés et émis à
nouveau:
l'Univers est opaque

0.01 milliseconde



Protons
et neutrons

Les quarks
et les gluons
se lient pour
former les
protons et les
neutrons

L'Univers à la
taille du système
solaire

10^{-12} secondes



Plasma quark-gluon

L'Univers visible
à un rayon de
300 million de km

 10^{12} C

10^{-35} secondes



L'Univers visible
à la taille d'une
pomme

 10^{29} C

10^{43} secondes



Big Bang
?



force électronucléaire
Superforce
gravitation

-270°C



- 2 protons + 2 neutrons = noyau d'hélium
- 1 proton = noyau d'hydrogène

- Proton
- Quark
- Neutron
- Électron
- Méson
- Photon
- ✓ Force faible
- ✗ Force forte

temps



Collision classique ou quantique

Taille quantique d'un objet de masse m:

$$\lambda = \frac{h}{mc}$$

h = constante de Planck = $6.6 \cdot 10^{-34} \text{ m}^2 \cdot \text{kg/s}$

c = vitesse de la lumière dans le vide $\approx 3000000 \text{ km/s}$



$$\lambda \text{ (m)} \approx \frac{2.2 \cdot 10^{-42}}{m \text{ (kg)}}$$

Collision de fraises:



$$m \sim 20 \text{ g} \rightarrow \lambda \sim 10^{-40} \text{ m}$$

λ très petit devant R ($\sim 1\text{cm}$) \rightarrow classique

Collision de protons:

$$m \sim 1.6 \cdot 10^{-27} \text{ kg} \rightarrow \lambda \sim 10^{-15} \text{ m}$$

$\lambda \sim R \rightarrow$ quantique

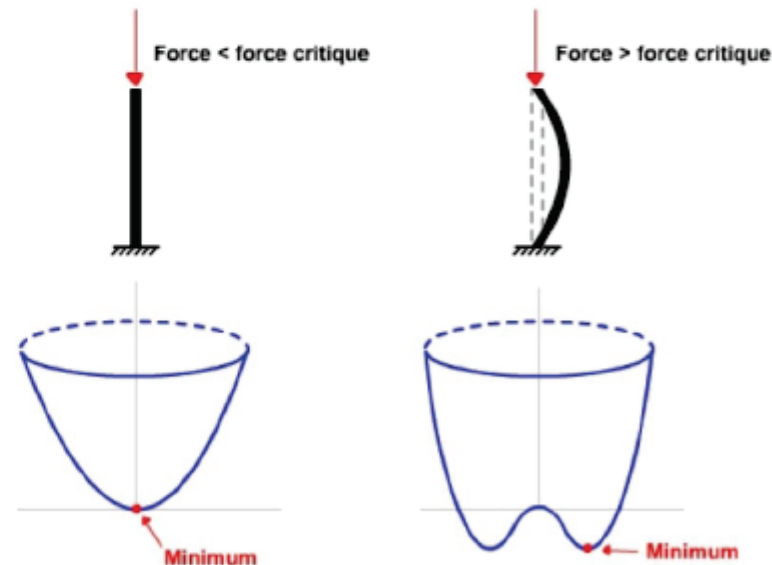
Brisure spontanée de symétrie

- Certains phénomènes physiques sont symétriques. Par exemple la symétrie de rotation :

- du crayon qui tourne sur lui-même
 - d'une barre en compression

- Les solutions ne respectent pas forcément les mêmes symétries :

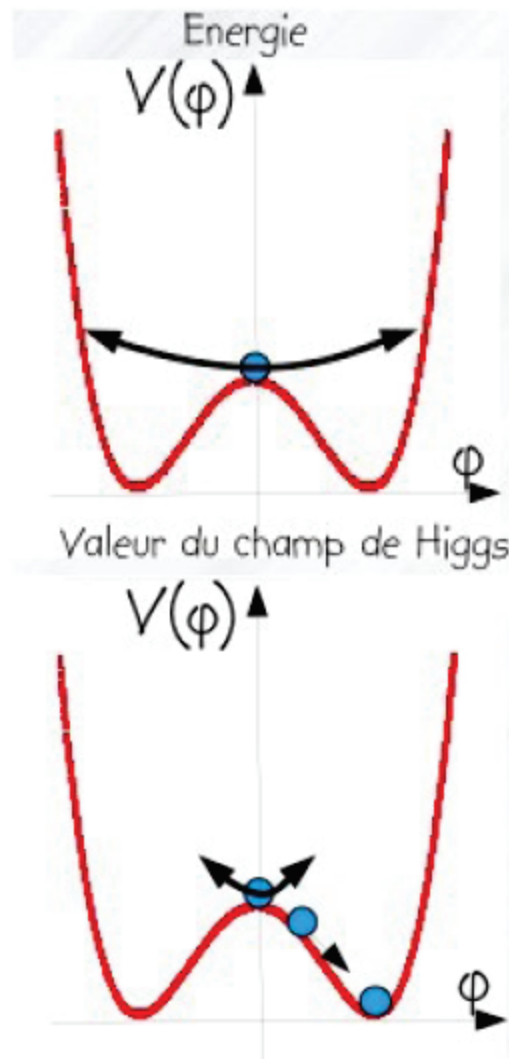
- chute du crayon
 - flambage de la barre dans une direction donnée



© 3xplus.com

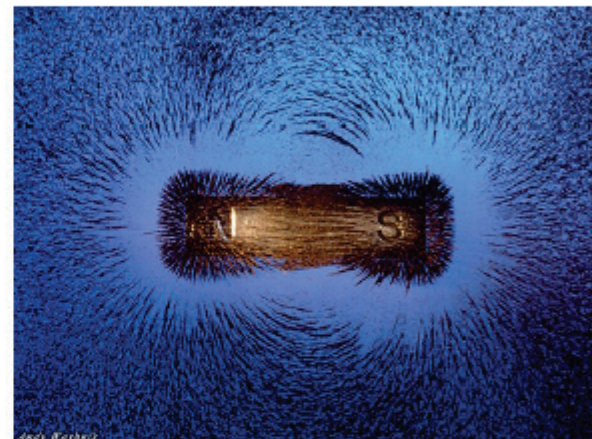
Brisure de la symétrie électrofaible

- A haute température, juste après le Big Bang :
 - champ de Higgs nul dans l'état fondamental
 - les particules restent sans masse
- Réduction de la température (10^{-12} s après le Big Bang) :
 - brisure de symétrie
 - champ non nul
 - les particules élémentaires acquièrent une masse non nulle en **interagissant avec le champ de Higgs**



Notion de champ

- Ensemble des valeurs prises par une grandeur physique en tout point de l'espace
 - Champ orienté : vecteur
 - Champ magnétique



- Champ non-orienté : scalaire
 - Carte des températures
 - Champ de Higgs !

Bonus en théorie quantique des champs :
particule associée (excitation du champ)

Le modèle standard redécouvert

LHC 2010 : un siècle en un an

